

An Algorithmic View on Sensor Networks – Surveillance, Localization, and Communication

Dissertationsvortrag von Dipl.-Phys., Dipl.-Inform. Dennis Schieferdecker





■ verteilte Sensoren



- verteilte Sensoren
- lokale Kommunikation

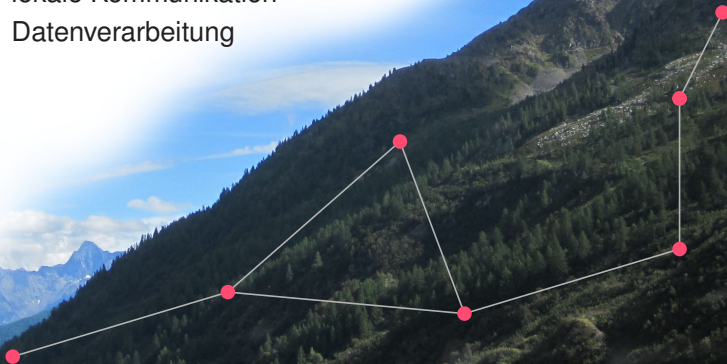


- verteilte Sensoren
- lokale Kommunikation
- Datenverarbeitung



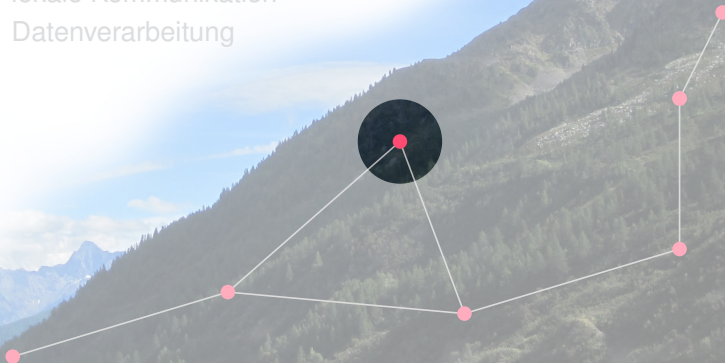
Sensornetzwerk

- verteilte Sensoren
- lokale Kommunikation
- Datenverarbeitung



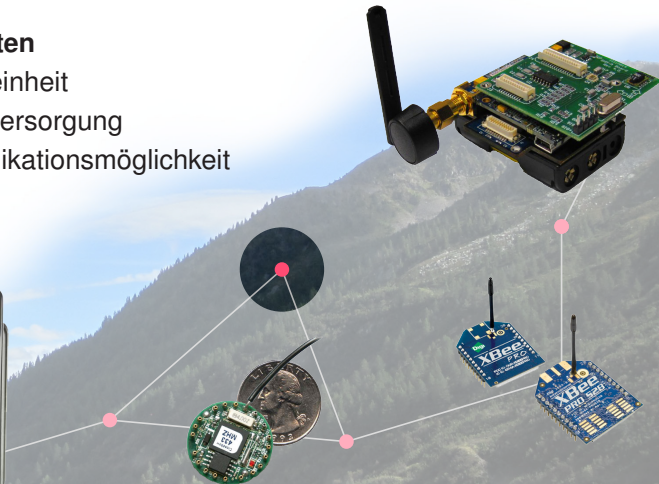
Sensornetzwerk

- verteilte Sensoren
- lokale Kommunikation
- Datenverarbeitung



Sensorknoten

- Recheneinheit
- Energieversorgung
- Kommunikationsmöglichkeit



Sensorknoten

- Recheneinheit
- Energieversorgung
- Kommunikationsmöglichkeit



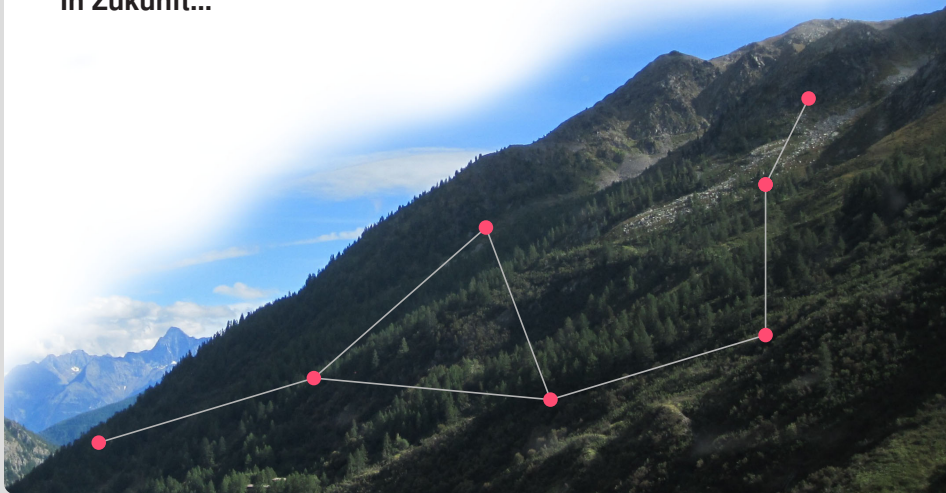
Einführung

Sensorknoten

- Recheneinheit
- Energieversorgung
- Kommunikationsmöglichkeit

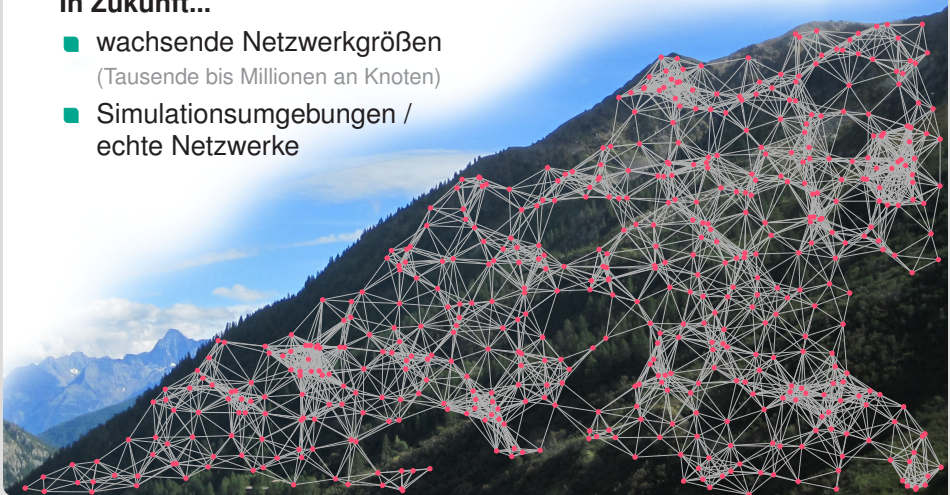


In Zukunft...



In Zukunft...

- wachsende Netzwerkgrößen
(Tausende bis Millionen an Knoten)
- Simulationsumgebungen /
echte Netzwerke



In Zukunft...

- wachsende Netzwerkgrößen
(Tausende bis Millionen an Knoten)
- Simulationsumgebungen /
echte Netzwerke

Problem: Skalierbarkeit

- benötigt effiziente Verfahren
(statt ad-hoc Lösungen)
- **Algorithmik eilt zur Hilfe!**

An Algorithmic View on Sensor Networks – Surveillance, Localization, and Communication



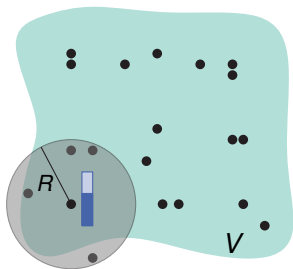
An Algorithmic View on Sensor Networks – **Surveillance**, Localization, and Communication



Problemstellung

- beschränktes Gebiet
- stationäre Sensorknoten
 - kreisförmiger Beobachtungsbereich
 - beschränkte Batteriekapazität

→ Sensoreinsatzplan maximaler Dauer bei vollständiger Abdeckung des Gebiets



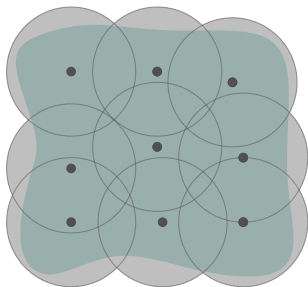
Anwendungen

- lückenlose Beobachtung (z.B. Studium von Wildtieren, Schutz vor Waldbränden)
- kontinuierliche Messungen mit garantierter minimaler Auflösung (z.B. Kontrolle von Schadstoffbelastungen)

Problemstellung

- beschränktes Gebiet
- stationäre Sensorknoten
 - kreisförmiger Beobachtungsbereich
 - beschränkte Batteriekapazität

→ Sensoreinsatzplan maximaler Dauer bei vollständiger Abdeckung des Gebiets



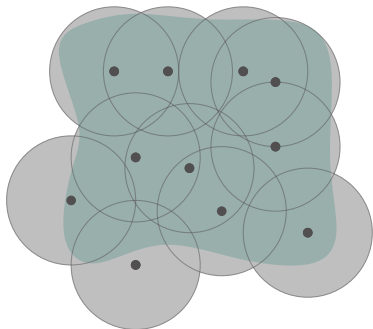
Anwendungen

- lückenlose Beobachtung (z.B. Studium von Wildtieren, Schutz vor Waldbränden)
- kontinuierliche Messungen mit garantierter minimaler Auflösung (z.B. Kontrolle von Schadstoffbelastungen)

Problemstellung

- beschränktes Gebiet
- stationäre Sensorknoten
 - kreisförmiger Beobachtungsbereich
 - beschränkte Batteriekapazität

→ Sensoreinsatzplan maximaler Dauer bei vollständiger Abdeckung des Gebiets

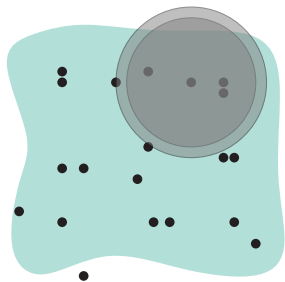


Anwendungen

- lückenlose Beobachtung (z.B. Studium von Wildtieren, Schutz vor Waldbränden)
- kontinuierliche Messungen mit garantierter minimaler Auflösung (z.B. Kontrolle von Schadstoffbelastungen)

Beiträge dieser Arbeit

- Beweis der \mathcal{NP} -Vollständigkeit
(über wMDS auf UDGs, Dualität von LPs)
- effizient polynomielles
Approximationsschema (EPTAS)
(lineare Laufzeit, zwei Relaxationen, zentralisiert)

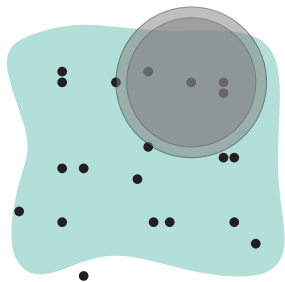


Frühere Arbeiten

- Verfahren auf Basis von ILPs (exakt / Approximationsschemata)
- superlineare Algorithmen (schlechtere / ohne Approximationsgüte)
- Beweis der \mathcal{NP} -Vollständigkeit [CTLW'05]

Beiträge dieser Arbeit

- Beweis der \mathcal{NP} -Vollständigkeit
(über wMDS auf UDGs, Dualität von LPs)
- effizient polynomielles
Approximationsschema (EPTAS)
(lineare Laufzeit, zwei Relaxationen, zentralisiert)

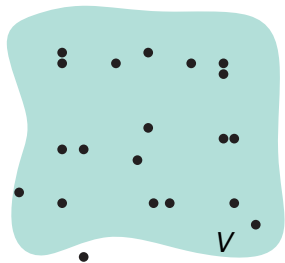


Frühere Arbeiten

- Verfahren auf Basis von ILPs (exakt / Approximationsschemata)
- superlineare Algorithmen (schlechtere / ohne Approximationsgüte)
- Beweis der \mathcal{NP} -Vollständigkeit [CTLW'05] → unvollständig
(keine Beachtung von Geometrie, Batteriekapazitäten)

Eingabe: Instanz $(V, 1)$, Algorithmus \mathcal{A}
(Beobachtungsradien auf 1 normiert)

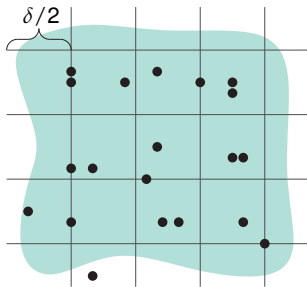
- bewege Knoten auf Gitterplätze
- partitioniere Gebiet $k = \lceil \frac{10}{\epsilon} \rceil$ mal
- löse Problem unabhängig für jede Zelle
(mit Algorithmus \mathcal{A})
- füge Teillösungen für jede Partitionierung zusammen
- skaliere Aktivierungsdauern mit $\frac{1-\epsilon}{k}$



Ausgabe: **approximierte Lösung** für $(V, (1 + \delta) \cdot 1)$
(zulässiger Einsatzplan für jeden Knoten mit fast optimaler Lebensdauer)

Eingabe: Instanz $(V, 1)$, Algorithmus \mathcal{A}
(Beobachtungsradien auf 1 normiert)

- bewege Knoten auf Gitterplätze
- partitioniere Gebiet $k = \lceil \frac{10}{\epsilon} \rceil$ mal
- löse Problem unabhängig für jede Zelle
(mit Algorithmus \mathcal{A})
- füge Teillösungen für jede Partitionierung zusammen
- skaliere Aktivierungsdauern mit $\frac{1-\epsilon}{k}$



Ausgabe: **approximierte Lösung** für $(V, (1 + \delta) \cdot 1)$
(zulässiger Einsatzplan für jeden Knoten mit fast optimaler Lebensdauer)

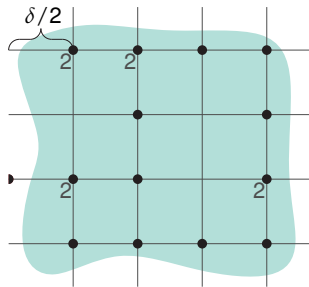
Ablauf

Approximationsalgorithmus

Eingabe: Instanz $(V, 1)$, Algorithmus \mathcal{A}
(Beobachtungsradien auf 1 normiert)

- bewege Knoten auf Gitterplätze
- partitioniere Gebiet $k = \lceil \frac{10}{\epsilon} \rceil$ mal
- löse Problem unabhängig für jede Zelle
(mit Algorithmus \mathcal{A})
- füge Teillösungen für jede Partitionierung zusammen
- skaliere Aktivierungsdauern mit $\frac{1-\epsilon}{k}$

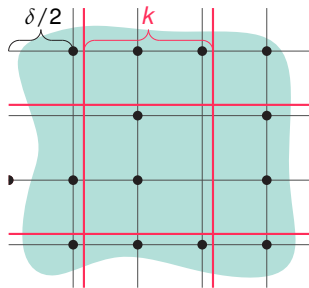
Ausgabe: **approximierte Lösung** für $(V, (1 + \delta) \cdot 1)$
(zulässiger Einsatzplan für jeden Knoten mit fast optimaler Lebensdauer)



Eingabe: Instanz $(V, 1)$, Algorithmus \mathcal{A}
(Beobachtungsradien auf 1 normiert)

- bewege Knoten auf Gitterplätze
- partitioniere Gebiet $k = \lceil \frac{10}{\epsilon} \rceil$ mal
- löse Problem unabhängig für jede Zelle
(mit Algorithmus \mathcal{A})
- füge Teillösungen für jede Partitionierung zusammen
- skaliere Aktivierungsdauern mit $\frac{1-\epsilon}{k}$

Ausgabe: **approximierte Lösung** für $(V, (1 + \delta) \cdot 1)$
(zulässiger Einsatzplan für jeden Knoten mit fast optimaler Lebensdauer)



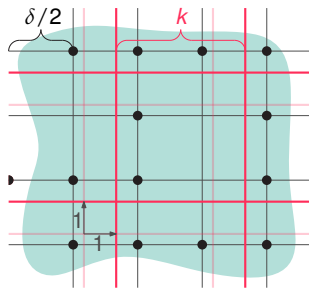
Ablauf

Approximationsalgorithmus

Eingabe: Instanz $(V, 1)$, Algorithmus \mathcal{A}
(Beobachtungsradien auf 1 normiert)

- bewege Knoten auf Gitterplätze
- partitioniere Gebiet $k = \lceil \frac{10}{\epsilon} \rceil$ mal
- löse Problem unabhängig für jede Zelle
(mit Algorithmus \mathcal{A})
- füge Teillösungen für jede Partitionierung zusammen
- skaliere Aktivierungsdauern mit $\frac{1-\epsilon}{k}$

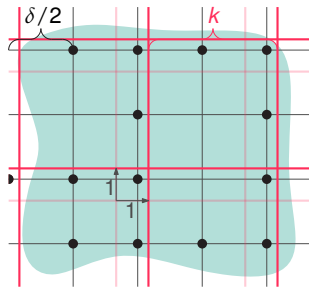
Ausgabe: **approximierte Lösung** für $(V, (1 + \delta) \cdot 1)$
(zulässiger Einsatzplan für jeden Knoten mit fast optimaler Lebensdauer)



Eingabe: Instanz $(V, 1)$, Algorithmus \mathcal{A}
(Beobachtungsradien auf 1 normiert)

- bewege Knoten auf Gitterplätze
- partitioniere Gebiet $k = \lceil \frac{10}{\epsilon} \rceil$ mal
- löse Problem unabhängig für jede Zelle
(mit Algorithmus \mathcal{A})
- füge Teillösungen für jede Partitionierung zusammen
- skaliere Aktivierungsdauern mit $\frac{1-\epsilon}{k}$

Ausgabe: **approximierte Lösung** für $(V, (1 + \delta) \cdot 1)$
(zulässiger Einsatzplan für jeden Knoten mit fast optimaler Lebensdauer)



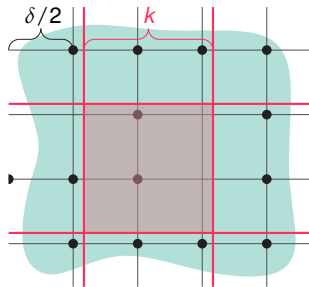
Ablauf

Approximationsalgorithmus

Eingabe: Instanz $(V, 1)$, Algorithmus \mathcal{A}
(Beobachtungsradien auf 1 normiert)

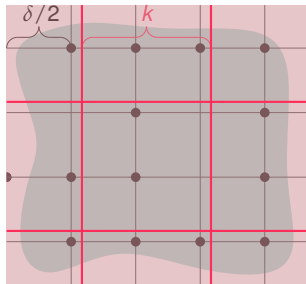
- bewege Knoten auf Gitterplätze
- partitioniere Gebiet $k = \lceil \frac{10}{\epsilon} \rceil$ mal
- löse Problem unabhängig für jede Zelle
(mit Algorithmus \mathcal{A})
- füge Teillösungen für jede Partitionierung zusammen
- skaliere Aktivierungsdauern mit $\frac{1-\epsilon}{k}$

Ausgabe: **approximierte Lösung** für $(V, (1 + \delta) \cdot 1)$
(zulässiger Einsatzplan für jeden Knoten mit fast optimaler Lebensdauer)



Eingabe: Instanz $(V, 1)$, Algorithmus \mathcal{A}
(Beobachtungsradien auf 1 normiert)

- bewege Knoten auf Gitterplätze
- partitioniere Gebiet $k = \lceil \frac{10}{\epsilon} \rceil$ mal
- löse Problem unabhängig für jede Zelle
(mit Algorithmus \mathcal{A})
- füge Teillösungen für jede Partitionierung zusammen
- skaliere Aktivierungsdauern mit $\frac{1-\epsilon}{k}$



Ausgabe: **approximierte Lösung** für $(V, (1 + \delta) \cdot 1)$
(zulässiger Einsatzplan für jeden Knoten mit fast optimaler Lebensdauer)

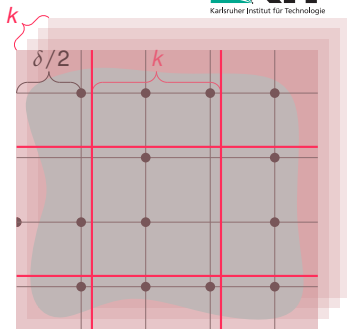
Ablauf

Approximationsalgorithmus

Eingabe: Instanz $(V, 1)$, Algorithmus \mathcal{A}
(Beobachtungsradien auf 1 normiert)

- bewege Knoten auf Gitterplätze
- partitioniere Gebiet $k = \lceil \frac{10}{\epsilon} \rceil$ mal
- löse Problem unabhängig für jede Zelle
(mit Algorithmus \mathcal{A})
- füge Teillösungen für jede Partitionierung zusammen
- skaliere Aktivierungsdauern mit $\frac{1-\epsilon}{k}$

Ausgabe: **approximierte Lösung** für $(V, (1 + \delta) \cdot 1)$
(zulässiger Einsatzplan für jeden Knoten mit fast optimaler Lebensdauer)



Behauptungen

Approximationsalgorithmus

- lineare Laufzeit

$$\mathcal{O}\left(|V| + \frac{1}{\epsilon}|V| \cdot t_{\mathcal{A}}\left(\mathcal{O}\left(\frac{1}{\delta^2 \epsilon^2}\right)\right)\right) = \mathcal{O}(|V|)$$

- Approximationsgüte

$$T\langle V, 1 + \delta \rangle \geq (1 - \epsilon) \cdot f \cdot T_{\text{opt}}\langle V, 1 \rangle$$

- Korrektheit

Energieverbrauch kleiner als Batteriekapazität

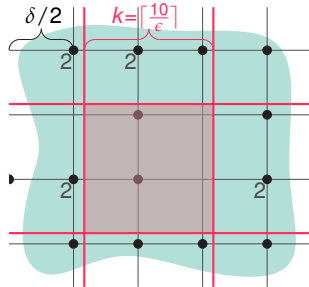
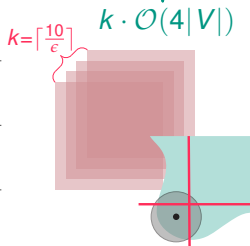
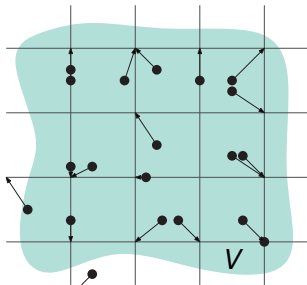
Behauptungen

Approximationsalgorithmus

- lineare Laufzeit

$$\mathcal{O}\left(|V| + \frac{1}{\epsilon}|V| \cdot t_A\left(\mathcal{O}\left(\frac{1}{\delta^2 \epsilon^2}\right)\right)\right) = \mathcal{O}(|V|)$$

Algorithmus \mathcal{A}



Behauptungen

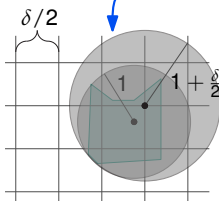
Approximationsalgorithmus

- lineare Laufzeit

$$\mathcal{O}\left(|V| + \frac{1}{\epsilon}|V| \cdot t_{\mathcal{A}}\left(\mathcal{O}\left(\frac{1}{\delta^2 \epsilon^2}\right)\right)\right) = \mathcal{O}(|V|)$$

- Approximationsgüte

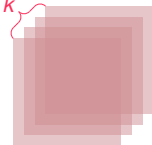
$$T\langle V, 1 + \delta \rangle \geq (1 - \epsilon) \cdot f \cdot T_{\text{opt}}\langle V, 1 \rangle$$



optimale Lösung

Algorithmus \mathcal{A}

$$k \cdot \frac{1 - \epsilon}{k}$$



Behauptungen

Approximationsalgorithmus

- lineare Laufzeit

$$\mathcal{O}\left(|V| + \frac{1}{\epsilon}|V| \cdot t_A(\mathcal{O}(\frac{1}{\delta^2 \epsilon^2}))\right) = \mathcal{O}(|V|)$$

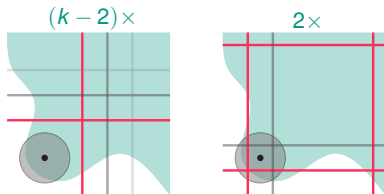
- Approximationsgüte

$$T\langle V, 1 + \delta \rangle \geq (1 - \epsilon) \cdot f \cdot T_{\text{opt}}\langle V, 1 \rangle$$

- Korrektheit

Energieverbrauch

$$((k-2) \cdot 1 + 2 \cdot 4) \stackrel{!}{\leq} 1$$



Behauptungen

Approximationsalgorithmus

- lineare Laufzeit

$$\mathcal{O}\left(|V| + \frac{1}{\epsilon}|V| \cdot t_A(\mathcal{O}(\frac{1}{\delta^2 \epsilon^2}))\right) = \mathcal{O}(|V|)$$

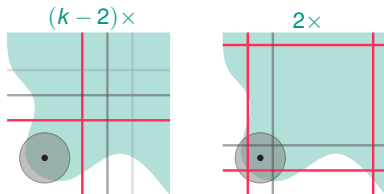
- Approximationsgüte

$$T\langle V, 1 + \delta \rangle \geq (1 - \epsilon) \cdot f \cdot T_{\text{opt}}\langle V, 1 \rangle$$

- Korrektheit

Energieverbrauch

$$\frac{1-\epsilon}{k} \cdot ((k-2) \cdot 1 + 2 \cdot 4) \leq 1 \quad k = \lceil \frac{10}{\epsilon} \rceil$$



- lineare Laufzeit

$$\mathcal{O}\left(|V| + \frac{1}{\epsilon}|V| \cdot t_{\mathcal{A}}\left(\mathcal{O}\left(\frac{1}{\delta^2 \epsilon^2}\right)\right)\right) = \mathcal{O}(|V|)$$

- Approximationsgüte

$$T\langle V, 1 + \delta \rangle \geq (1 - \epsilon) \cdot f \cdot T_{\text{opt}}\langle V, 1 \rangle$$

- Korrektheit

Energieverbrauch kleiner als Batteriekapazität

→ effizient polynomielles Approximationsschema (EPTAS)

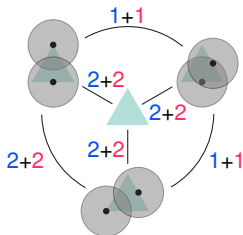
exakter Algorithmus

- Formulierung als lineares Programm [BCSZ'05]
 - verzögerte Spaltenerzeugung [DW'60]
 - Garg-Könemann Algorithmus [GK'07]
- effizient für kleinere Instanzen ($\approx 1\,000$ Knoten)

$$\begin{aligned} & \text{maximize} && \sum_{j=1}^m t_j, \\ & \text{subject to} && \sum_{j=1}^m C_{ij} t_j \leq \mathbf{b}_i, \quad i \in \{1, \dots, n\}, \\ & && t \geq 0 \end{aligned}$$

Minimierung von Ein- und Ausschaltvorgängen

- Verfahren zur Nachoptimierung
- Formulierung als metrisches TSP



An Algorithmic View on Sensor Networks – Surveillance, **Localization**, and Communication



Randerkennung

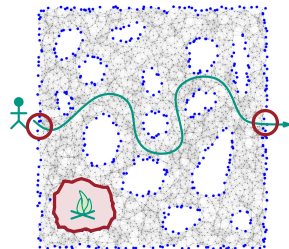
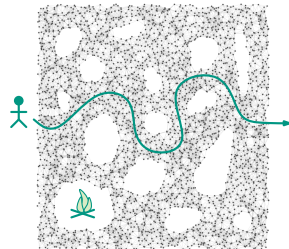
[SEA'11], [TR'11]

Problemstellung

- großflächiges Sensornetzwerk
- Klassifikation in Rand- und innere Knoten

Anwendungen

- Melden von Eindringlingen (z.B. Wilderer), sich verschiebender Ränder (z.B. Knotenausfall)
- Indikator für schlechte Überdeckung



Randerkennung

[SEA'11], [TR'11]

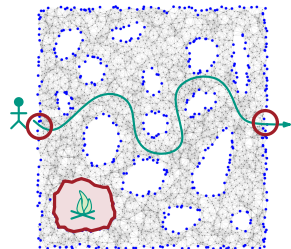
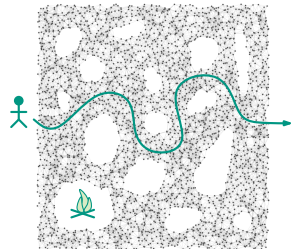
Problemstellung

- großflächiges Sensornetzwerk
 - verteilte Berechnung
 - lokale Sicht auf das Netzwerk
 - nur Verbindungsinformation (kein GPS)

→ Klassifikation in Rand- und innere Knoten

Anwendungen

- Melden von Eindringlingen (z.B. Wilderer), sich verschiebender Ränder (z.B. Knotenausfall)
- Indikator für schlechte Überdeckung



Randerkennung

[SEA'11], [TR'11]

geometrische Ansätze

- Positionen, Distanzen, Winkel

→ Informationen oft nicht verfügbar

statistische Ansätze

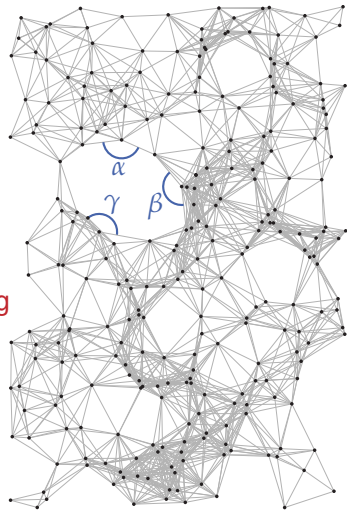
- Knotengrad, Knotendichte

→ hoher Knotengrad, gleichförmige Verteilung

topologische Ansätze

- Struktur des Verbindungsgraphen

→ komplex, viel Kommunikation



Randerkennung

[SEA'11], [TR'11]

geometrische Ansätze

- Positionen, Distanzen, Winkel

→ Informationen oft nicht verfügbar

statistische Ansätze

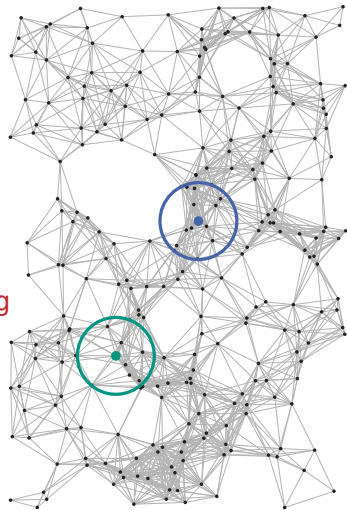
- Knotengrad, Knotendichte

→ hoher Knotengrad, gleichförmige Verteilung

topologische Ansätze

- Struktur des Verbindungsgraphen

→ komplex, viel Kommunikation



Randerkennung

[SEA'11], [TR'11]

geometrische Ansätze

- Positionen, Distanzen, Winkel

→ Informationen oft nicht verfügbar

statistische Ansätze

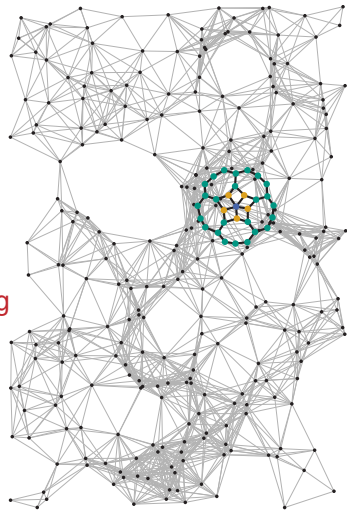
- Knotengrad, Knotendichte

→ hoher Knotengrad, gleichförmige Verteilung

topologische Ansätze

- Struktur des Verbindungsgraphen

→ komplex, viel Kommunikation

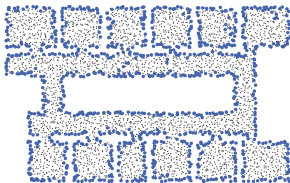
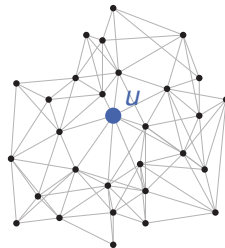


Beitrag dieser Arbeit

■ Multidimensional Scaling Boundary Recognition (MDS-BR)

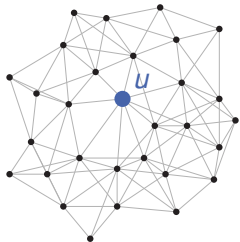
(kombiniert topologische & geometrische Ansätze)

- nur Verbindungsinformationen
- geringer Ressourcenverbrauch
(wenig Kommunikation, Rechenleistung)
- verteilt, lokal (2-Hop Nachbarschaft)
- sehr gute Klassifikationsleistung in Praxis



Einbettung der 2-Hop Nachbarschaft

- erfrage Verbindungsinformation
- schätze Distanzen
- berechne Einbettung



\Rightarrow
2 Nachrichten / Knoten

Test von Winkelbeziehungen

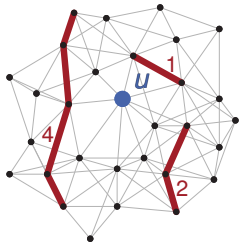
- 2-Hop Nachbarschaft
- 1-Hop Nachbarschaft
- Mikrolöcher

$$\begin{pmatrix} 0 & 1 & 1 & 0 & 0 & \dots \\ 1 & 0 & 0 & 1 & 0 & \dots \\ 1 & 0 & 0 & 0 & 1 & \dots \\ 0 & 1 & 0 & 0 & 0 & \dots \\ 0 & 0 & 1 & 0 & 0 & \dots \\ \vdots & \vdots & \vdots & \vdots & \vdots & \ddots \end{pmatrix}$$

Adjazenzmatrix

Einbettung der 2-Hop Nachbarschaft

- erfrage Verbindungsinformation
- **schätze Distanzen**
- berechne Einbettung



Test von Winkelbeziehungen

- 2-Hop Nachbarschaft
- 1-Hop Nachbarschaft
- Mikrolöcher

$$\begin{pmatrix} 0 & 1 & 1 & 2 & 3 & \dots \\ 1 & 0 & 3 & 1 & 2 & \dots \\ 1 & 3 & 0 & 2 & 1 & \dots \\ 2 & 1 & 2 & 0 & 4 & \dots \\ 3 & 2 & 1 & 4 & 0 & \dots \\ \vdots & \vdots & \vdots & \vdots & \vdots & \ddots \end{pmatrix}$$

Matrix mit Hop-Distanzen

Einbettung der 2-Hop Nachbarschaft

- erfrage Verbindungsinformation
- schätze Distanzen
- **berechne Einbettung**

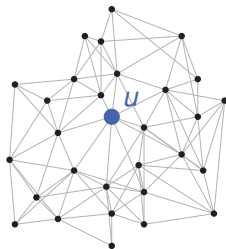
Test von Winkelbeziehungen

- 2-Hop Nachbarschaft
- 1-Hop Nachbarschaft
- Mikrolöcher

$$\begin{pmatrix} 0 & 1 & 1 & 2 & 3 & \dots \\ 1 & 0 & 3 & 1 & 2 & \dots \\ 1 & 3 & 0 & 2 & 1 & \dots \\ 2 & 1 & 2 & 0 & 4 & \dots \\ 3 & 2 & 1 & 4 & 0 & \dots \\ \vdots & \vdots & \vdots & \vdots & \vdots & \ddots \end{pmatrix}$$

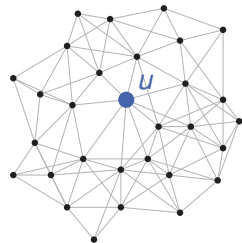
paarweise Distanzen δ_{ij}

\Rightarrow
MDS



Einbettung $\{x_1, \dots, x_n\}$

\neq



echte Positionen

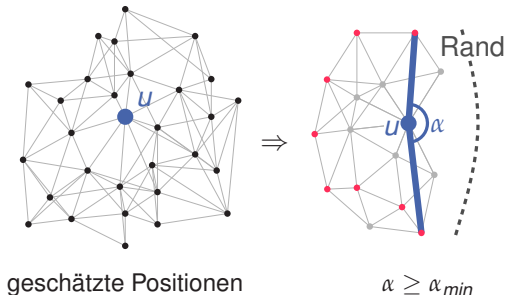
$$\text{minimiere } \sum_{i \neq j} (\|x_i - x_j\| - \delta_{ij})^2$$

Einbettung der 2-Hop Nachbarschaft

- erfrage Verbindungsinformation
- schätze Distanzen
- berechne Einbettung

Test von Winkelbeziehungen

- 2-Hop Nachbarschaft
- 1-Hop Nachbarschaft
- Mikrolöcher

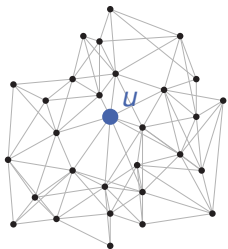


Einbettung der 2-Hop Nachbarschaft

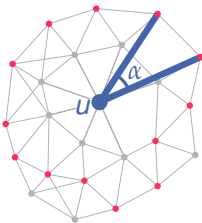
- erfrage Verbindungsinformation
- schätze Distanzen
- berechne Einbettung

Test von Winkelbeziehungen

- 2-Hop Nachbarschaft
- 1-Hop Nachbarschaft
- Mikrolöcher



geschätzte Positionen



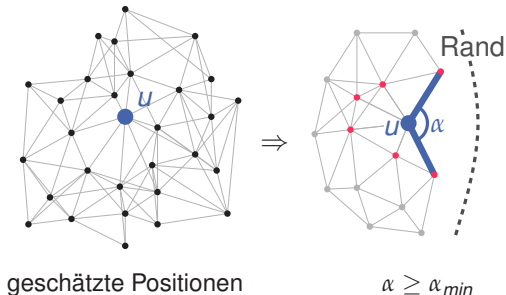
$$\alpha \geq \alpha_{min}$$

Einbettung der 2-Hop Nachbarschaft

- erfrage Verbindungsinformation
- schätze Distanzen
- berechne Einbettung

Test von Winkelbeziehungen

- 2-Hop Nachbarschaft
- 1-Hop Nachbarschaft
- Mikrolöcher

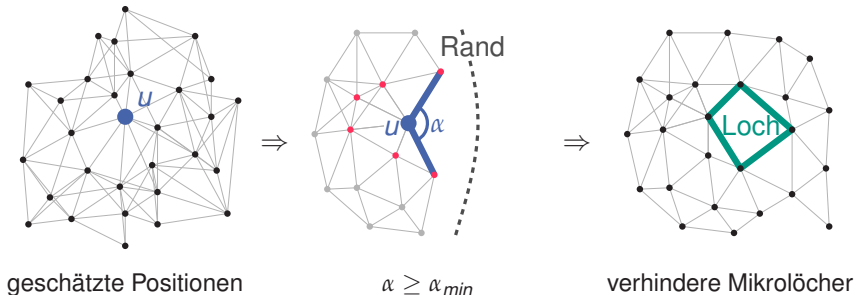


Einbettung der 2-Hop Nachbarschaft

- erfrage Verbindungsinformation
- schätze Distanzen
- berechne Einbettung

Test von Winkelbeziehungen

- 2-Hop Nachbarschaft
- 1-Hop Nachbarschaft
- Mikrolöcher

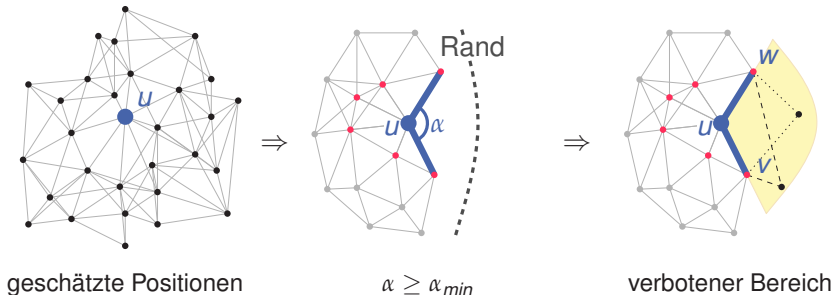


Einbettung der 2-Hop Nachbarschaft

- erfrage Verbindungsinformation
- schätze Distanzen
- berechne Einbettung

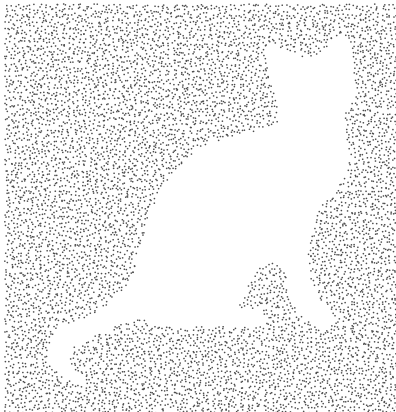
Test von Winkelbeziehungen

- 2-Hop Nachbarschaft
- 1-Hop Nachbarschaft
- Mikrolöcher



Beispiel

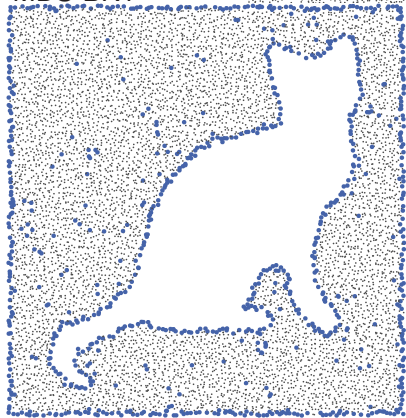
MDS-BR



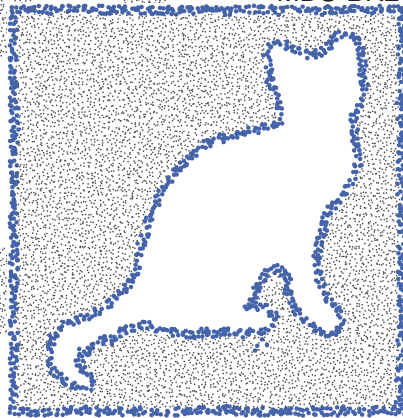
Beispiel

MDS-BR

MDS-BR1

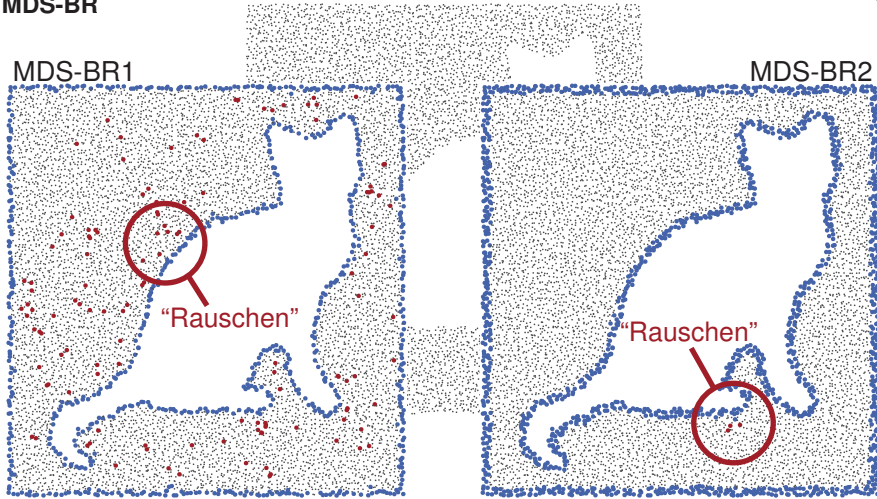


MDS-BR2



Beispiel

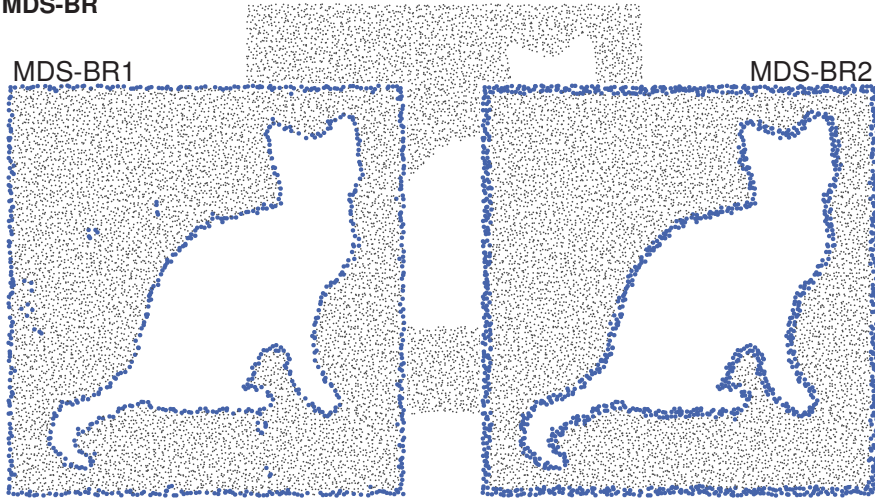
MDS-BR



potentiell ungewolltes **Rauschen** (z.B. Mikrolöcher)

Beispiel

MDS-BR



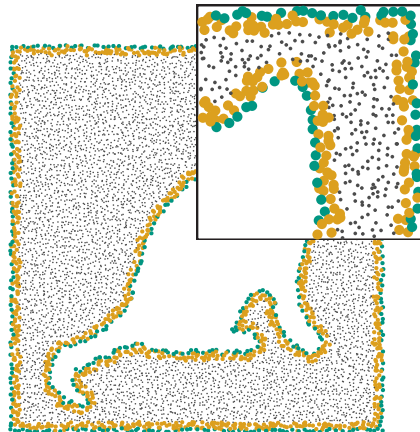
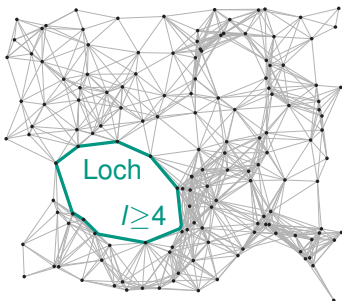
Nachoptimierung durch lokale Suche auf Randknoten

Ergebnisse

quantitative Auswertung

Loch- & Randdefinition

- echte Randknoten
- optionale Randknoten
- innere Knoten



Ergebnisse

quantitative Auswertung – 0.25-QUDG

echter Rand



– | –

MDS-BR1



38.1 | 12.8

MDS-BR2



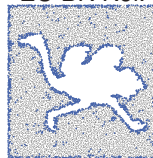
3.6 | 9.3

EC-BR



2.0 | 57.4

EC-BR Ref.



7.5 | 18.3

Martincic04



1.5 | 24.4

Fekete04



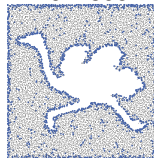
11.9 | 15.4

Funke05



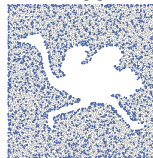
11.9 | 19.0

Funke06



42.4 | 5.1

Bi06



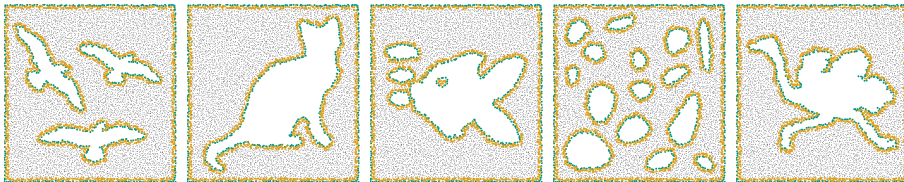
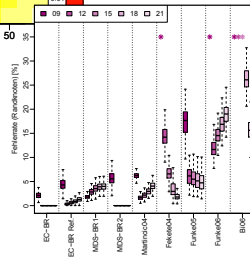
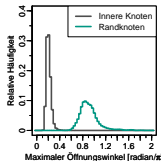
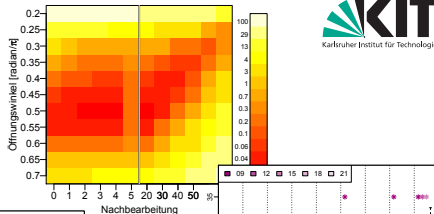
35.1 | 13.9

*Fehlklassifikation von **Randknoten** und inneren Knoten [%]*

Weitere Ergebnisse

ausführliche Simulationen

- verschiedene Netzwerkmodelle
- Parameteranalysen
- algorithmische Varianten
(z.B. Signalstärke, Sampling)

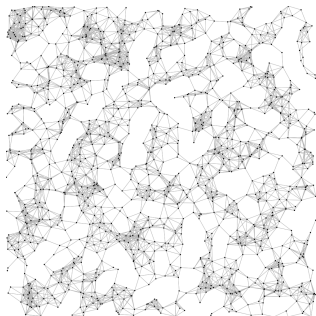


An Algorithmic View on Sensor Networks – Surveillance, Localization, and **Communication**



Problemstellung

- statisches Sensornetzwerk
 - Verbindungsinformation (kein GPS)
 - Verbindungskosten (z.B. Latenz, Energie)
 - zentralisierte Verarbeitung
- Bestimmung (fast) optimaler Routen
in kurzer Zeit & großer Anzahl



Anwendungen

- Analysewerkzeuge (z.B. Bestimmung von Engstellen, Netzwerkkapazitäten)
- Simulationsumgebungen

Effiziente Verfahren für Straßennetzwerke

- basieren auf **Dijkstras Algorithmus**
 - zielgerichtet (ALT, Arc Flags)
 - hierarchisch (Contraction Hierarchies)
- zweistufiger Ansatz
 - Vorverarbeitung (Daten aggregieren)
 - Anfrageverarbeitung (Daten ausnutzen)

(nützlich für viele Anfragen auf der gleichen Instanz)

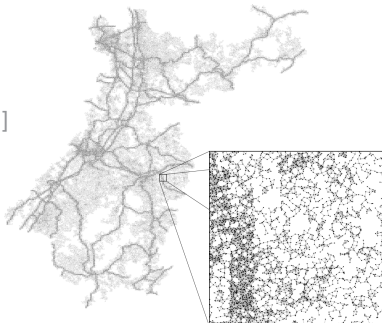


Problematisch auf Sensornetzwerkinstanzen [BDSSSW'10]

- dichte Graphen
- viele äquivalente/ähnliche Pfade

Grundlage

- **Contraction Hierarchies (CH)** [GSSV'12]
 - zweistufiger Ansatz
 - lange Vorverarbeitung
(auf Sensornetzwerkinstanzen)

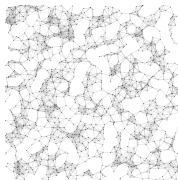


Beiträge dieser Arbeit

- **modifizierte Vorverarbeitung**
 - Beschleunigung für dichte Graphen
- **approximierte Contraction Hierarchies (CH)**
 - Routen maximal Faktor $(1 + \epsilon)$ länger als das Optimum
 - geringerer Platzbedarf, kürzere Vorverarbeitungs- und Anfragedauern

Netzwerkmodell

- “box”, Latenzkosten
- 1 000 000 Knoten, mittlerer Knotengrad 10

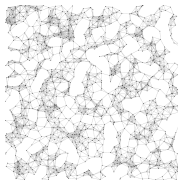


	Vorverarbeitung		Anfrage	
	Dauer [s]	Overhead [B/n]	Dauer [ms]	Fehler Ø [%]
exakt	1 071	-14	0.48	-
exakt (lazy updates)	254	-10	0.44	-
apx ($\epsilon = 1\%$)	166	-17	0.38	0.2
apx ($\epsilon = 10\%$)	116	-29	0.32	2.1

Intel Core i7-920 @ 2.67 Ghz, 12 GB RAM

Netzwerkmodell

- “box”, Latenzkosten
- 1 000 000 Knoten, mittlerer Knotengrad 10

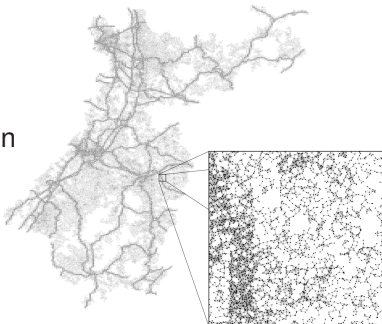


		Vorverarbeitung		Anfrage	
		Dauer [s]	Overhead [B/n]	Dauer [ms]	Fehler Ø [%]
apx ($\epsilon = 10\%$)		116	-29	0.32	2.1
Bidir. Dijkstra		0	0	141.15	-
Arc Flags		522	92	0.83	-
Core-ALT		239	170	2.70	-
ALT	exakt	178	512	3.67	-
	apx ($\epsilon = 10\%$)	178	512	2.35	1.1

Intel Core i7-920 @ 2.67 Ghz, 12 GB RAM

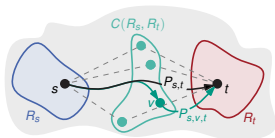
Approximierte CH [SOCS'10]

- Korrektheitsbeweise
- Kombinationen mit anderen Techniken
- weitere Netzwerkmodelle
(Knotengrad, Graphypen, Kostenfunktionen)



Alternativrouten [SEA'12], [JEA'14]

- Vorberechnung möglicher Zwischenknoten
- kann approximierte CH verwenden
- Onlineverfahren
(lernt Zwischenknoten “on-the-fly”)



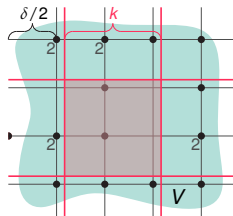
Zusammenfassung

“An Algorithmic View on Sensor Networks –

Surveillance,

- EPTAS

zur Sensoreinsatzplanung



Localization, and

- verteilter, lokaler Algorithmus

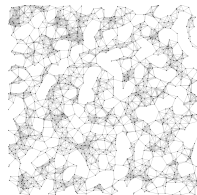
zur Randerkennung



Communication”

- Approximationsalgorithmus

zur Berechnung optimaler Routen



[ALGOSENSORS'10]

Peter Sanders and Dennis Schieferdecker. *Lifetime Maximization of Monitoring Sensor Networks*. In *International Workshop on Algorithms for Sensor Systems, Wireless Ad Hoc Networks, and Autonomous Mobile Entities (ALGOSENSORS'10)*, LNCS, vol. 6451, pp. 134–147. Springer, 2010.

[SOCS'10]

Robert Geisberger and Dennis Schieferdecker. *Heuristic Contraction Hierarchies with Approximation Guarantee*. In *International Symposium on Combinatorial Search (SoCS'10)*, pp. 31–38. AAAI Press, 2010.

[SEA'11]

Dennis Schieferdecker, Markus Völker, and Dorothea Wagner. *Efficient Algorithms for Distributed Detection of Holes and Boundaries in Wireless Networks*. In *International Symposium on Experimental Algorithms (SEA'11)*, LNCS, vol. 6630, pp. 388–399. Springer, 2011.

[TR'11]

Dennis Schieferdecker, Markus Völker, and Dorothea Wagner. *Efficient Algorithms for Distributed Detection of Holes and Boundaries in Wireless Networks*. Karlsruhe Reports in Informatics 2011,8, Karlsruhe Institute of Technology, 2011.

[SEA'12]

Dennis Luxen and Dennis Schieferdecker. *Candidate Sets for Alternative Routes in Road Networks*. In *International Symposium on Experimental Algorithms (SEA'12)*, LNCS, vol. 7276, pp. 260–270. Springer, 2012.

[JEA'14]

Dennis Luxen and Dennis Schieferdecker. *Candidate Sets for Alternative Routes in Road Networks*. *ACM Journal of Experimental Algorithmics*, 2014. Accepted for publication.

[BCSZ'05]

Piotr Berman, Gruia Calinescu, Chintan Shah, and Alexander Zelikovsky. *Efficient Energy Management in Sensor Networks*. In *Ad Hoc and Sensor Networks, Wireless Networks and Mobile Computing*, vol. 2, pp. 71–90. Nova Science Publishers, 2005.

[BDSSSW'10]

Reinhard Bauer, Daniel Delling, Peter Sanders, Dennis Schieferdecker, Dominik Schultes, and Dorothea Wagner. *Combining Hierarchical and Goal-Directed Speed-Up Techniques for Dijkstra's Algorithm*. *ACM Journal of Experimental Algorithmics*, 15(2.3):1–31, 2010.

[CTLW'05]

Mihaela Cardei, My T. Thai, Yingshu Li, and Weili Wu. *Energy-Efficient Target Coverage in Wireless Sensor Networks*. In *Joint Conference of the IEEE Computer and Communications Societies (INFOCOM'05)*, vol. 3, pp. 1976–1984. IEEE, 2005.

[DW'60]

George B. Dantzig and Philip Wolfe. *Decomposition Principle for Linear Programs*. *Operations Research*, 8(1):101–110, 1960.

[GK'07]

Naveen Garg and Jochen Könemann. *Faster and Simpler Algorithms for Multicommodity Flow and Other Fractional Packing Problems*. *SIAM Journal on Computing*, 37(2):630–652, 2007.

[GSSV'12]

Robert Geisberger, Peter Sanders, Dominik Schultes, and Christian Vetter. *Exact Routing in Large Road Networks Using Contraction Hierarchies*. *Transportation Science*, 46(3):388–404, 2012.

An Algorithmic View on Sensor Networks – Surveillance, Localization, and Communication

Zusatzfolien



Beweis

\mathcal{NP} -Vollständigkeit



gewichtetes MDS

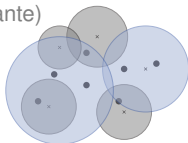
(auf UDGs)

\mathcal{NP} -vollständig
[MIH'81]



gewichtetes MGDC

(Entscheidungsvariante)



Problemstellung



$$\text{LP} \quad \max \{ \mathbf{1}^T \mathbf{t} \mid \mathcal{C} \mathbf{t} \leq \mathbf{b}, \mathbf{t} \geq \mathbf{0} \}$$



$$\text{Duales LP} \quad \min \{ \mathbf{b}^T \mathbf{w} \mid \mathcal{C}^T \mathbf{w} \geq \mathbf{1}, \mathbf{w} \geq \mathbf{0} \}$$

[GLS'81]

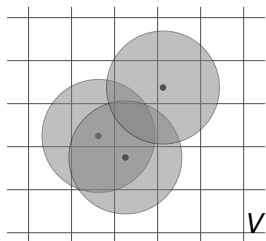


Separationsproblem zu dualem LP

(verifiziere Lösung/gib verletzte Bedingung an)

Diskretisierung von Knotenpositionen

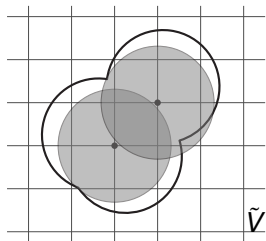
- $(\tilde{V}, 1 + \delta/2)$ deckt Bereich von $(V, 1)$ ab
 - Lösung für $(V, 1)$ ist Lösung für $(\tilde{V}, 1 + \delta/2)$
 - $T_{\text{opt}}\langle \tilde{V}, 1 + \delta/2 \rangle \geq T_{\text{opt}}\langle V, 1 \rangle$



- Lösung für $(\tilde{V}, 1 + \delta/2)$
(berechnet mit Algorithmus \mathcal{A})
 - $T\langle \tilde{V}, 1 + \delta/2 \rangle \geq f \cdot T_{\text{opt}}\langle \tilde{V}, 1 + \delta/2 \rangle \geq f \cdot T_{\text{opt}}\langle V, 1 \rangle$
 - Lösung für $(\tilde{V}, 1 + \delta/2)$ ist Lösung für $(V, 1 + \delta)$
(mit den gleichen Argumenten wie oben)
 - $T\langle V, 1 + \delta \rangle \geq f \cdot T_{\text{opt}}\langle V, 1 \rangle$

Diskretisierung von Knotenpositionen

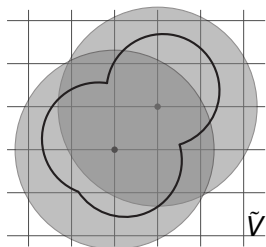
- $(\tilde{V}, 1 + \delta/2)$ deckt Bereich von $(V, 1)$ ab
 - Lösung für $(V, 1)$ ist Lösung für $(\tilde{V}, 1 + \delta/2)$
 - $T_{\text{opt}}\langle \tilde{V}, 1 + \delta/2 \rangle \geq T_{\text{opt}}\langle V, 1 \rangle$



- Lösung für $(\tilde{V}, 1 + \delta/2)$
(berechnet mit Algorithmus \mathcal{A})
 - $T\langle \tilde{V}, 1 + \delta/2 \rangle \geq f \cdot T_{\text{opt}}\langle \tilde{V}, 1 + \delta/2 \rangle \geq f \cdot T_{\text{opt}}\langle V, 1 \rangle$
 - Lösung für $(\tilde{V}, 1 + \delta/2)$ ist Lösung für $(V, 1 + \delta)$
(mit den gleichen Argumenten wie oben)
 - $T\langle V, 1 + \delta \rangle \geq f \cdot T_{\text{opt}}\langle V, 1 \rangle$

Diskretisierung von Knotenpositionen

- $(\tilde{V}, 1 + \delta/2)$ deckt Bereich von $(V, 1)$ ab
 - Lösung für $(V, 1)$ ist Lösung für $(\tilde{V}, 1 + \delta/2)$
 - $T_{\text{opt}}\langle \tilde{V}, 1 + \delta/2 \rangle \geq T_{\text{opt}}\langle V, 1 \rangle$
- Lösung für $(\tilde{V}, 1 + \delta/2)$
(berechnet mit Algorithmus \mathcal{A})
 - $T\langle \tilde{V}, 1 + \delta/2 \rangle \geq f \cdot T_{\text{opt}}\langle \tilde{V}, 1 + \delta/2 \rangle \geq f \cdot T_{\text{opt}}\langle V, 1 \rangle$
 - Lösung für $(\tilde{V}, 1 + \delta/2)$ ist Lösung für $(V, 1 + \delta)$
(mit den gleichen Argumenten wie oben)
 - $T\langle V, 1 + \delta \rangle \geq f \cdot T_{\text{opt}}\langle V, 1 \rangle$

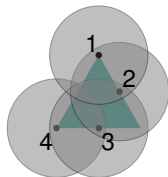


Grundlage

- Formulierung des Problems als Lineares Programm [BCSZ'05]

$$\max \{ \mathbf{1}^T \mathbf{t} \mid \mathbf{C} \mathbf{t} \leq \mathbf{b}, \mathbf{t} \geq \mathbf{0} \}, \quad \mathbf{t} \in \mathbb{R}_+^m, \mathbf{b} \in \mathbb{R}_+^n, \mathbf{C} \in \mathbb{Z}_2^{m \times n}$$

- jede Spalte von \mathbf{C} ist eine mögliche **Abdeckung**
(Knotenmenge, die gleichzeitig aktiviert wird und das Gebiet überdeckt)
→ exponentiell viele Spalten!



Ansätze

- verzögerte Spaltenerzeugung
(Delayed Column Generation [DW'60])
- heuristische Verfahren
(inexakte Lösungen)

Abdeckung

$$\mathbf{C} = \begin{pmatrix} 1 & 1 & 1 & 1 & 0 & \dots \\ 1 & 1 & 0 & 0 & 1 & \dots \\ 1 & 1 & 1 & 1 & 0 & \dots \\ 1 & 0 & 0 & 1 & 1 & \dots \end{pmatrix}$$

← Knoten 1

Verzögerte Spaltenerzeugung

Exakter Algorithmus

Ablauf

- löse **reduziertes Problem** (LP)

$$\max \{ \mathbf{1}^T \mathbf{t} \mid \mathbf{C} \mathbf{t} \leq \mathbf{b}, \mathbf{t} \geq \mathbf{0} \}, \quad \mathbf{t} \in \mathbb{R}_+^k, \mathbf{b} \in \mathbb{R}_+^n, \mathbf{C} \in \mathbb{Z}_2^{k \times n}$$

(Matrix \mathbf{C} durch **Initialisierungsschritt** berechnet)

- löse **Orakelproblem** (ILP)

$$\max \{ 1 - \mathbf{c}^T \mathbf{w} \mid \mathbf{c} \in \mathcal{C} \}, \quad \mathbf{w} \in \mathbb{R}_+^n, \mathbf{c} \in \mathbb{Z}_2^n$$

(\mathbf{w} ist duale Lösung zu reduziertem Problem)

- füge Abdeckung \mathbf{c} zu Matrix \mathbf{C} hinzu
- wiederhole bis Orakelproblem nicht-positive Lösung liefert

Verzögerte Spaltenerzeugung

Exakter Algorithmus

Freiheitsgrade

- Initialisierungsschritt
- Lösungsverfahren für Orakelproblem
- Terminierungsbedingung (für inexakte Lösungen)

Freiheitsgrade

- Initialisierungsschritt
 - einfache Ansätze (alle Knoten aktiv, zufällige Abdeckungen)
 - gierige Ansätze ([SP'01], [CTLW'05])
 - komplexere Ansätze (Garg-Könemann Verfahren [GK'07])
- Lösungsverfahren für Orakelproblem
- Terminierungsbedingung (für inexakte Lösungen)

Verzögerte Spaltenerzeugung

Exakter Algorithmus

Freiheitsgrade

- Initialisierungsschritt
- Lösungsverfahren für Orakelproblem
 - exakt (ILP Solver)
 - heuristisch (inexakte Lösungen)
 - heuristisch+exakt
- Terminierungsbedingung (für inexakte Lösungen)

Verzögerte Spaltenerzeugung

Exakter Algorithmus

Freiheitsgrade

- Initialisierungsschritt
- Lösungsverfahren für Orakelproblem
- Terminierungsbedingung (für inexakte Lösungen)
 - Verbesserung der Lösung je Schritt
 - obere Schranken
 - maximale Zeitdauer

Verzögerte Spaltenerzeugung

Exakter Algorithmus

Freiheitsgrade

- Initialisierungsschritt: [Garg-Könemann Verfahren](#) [GK'07]
- Lösungsverfahren für Orakelproblem: [ILP Solver](#)
- Terminierungsbedingung (für inexakte Lösungen)

Verzögerte Spaltenerzeugung

Exakter Algorithmus

Freiheitsgrade

- Initialisierungsschritt: [Garg-Könemann Verfahren](#) [GK'07]
- Lösungsverfahren für Orakelproblem: [ILP Solver](#)
- Terminierungsbedingung (für inexacte Lösungen)

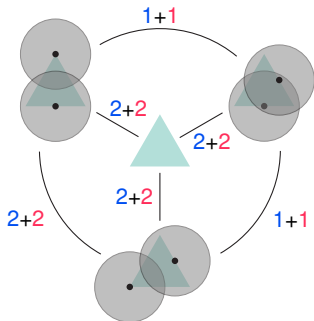
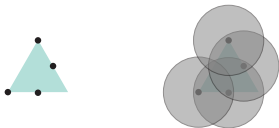
Erkenntnisse

- gute Initialisierung
(beschleunigt Konvergenz um Faktor 4)
- Minimierung von Abdeckung \mathbf{c} vor Hinzufügen zu Matrix \mathbf{C}
(beschleunigt Konvergenz um Faktor 40)
- je zufälliger die Eingabe, desto einfacher zu lösen
(weniger symmetrische Lösungen, die betrachtet werden müssen)

Nachoptimierung

Minimierung von Ein- und Ausschaltvorgängen

- Sensoreinsatzplanung liefert Menge an **Abdeckungen**
(Knotenmenge, die gleichzeitig aktiviert wird und das Gebiet überdeckt)
 - werden der Reihe nach aktiviert für berechnete Zeitdauer
- Ein-/Ausschaltvorgänge können energetisch teuer sein
 - minimiere Anzahl durch optimierte Reihenfolge der Abdeckungen
 - metrisches TSP Problem



Allgemeines

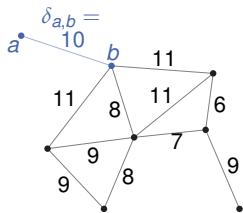
- Verfahren zur Visualisierung von Unterschieden
- klassische Skalierung [TOR52]
(Spezialfall metrischer Skalierung, euklidisch)

gegeben

- Distanzen $\delta_{i,j}$ zwischen allen Knoten $i, j \in V$

gesucht

- Einbettung $\mathbf{p} : V \mapsto \mathbb{R}^k$ aller Knoten mit minimalem

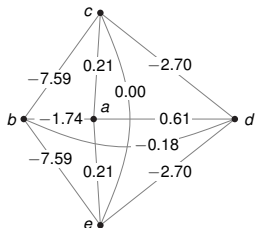


$$\sum_{i,j=1}^n (\delta_{i,j} - \|\mathbf{p}(i) - \mathbf{p}(j)\|)^2$$

Ablauf

- perfekte Einbettung entspricht $\delta_{i,j} = \|\mathbf{p}(i) - \mathbf{p}(j)\|$
→ $\mathbf{B}_\Delta := -\frac{1}{2}\mathbf{J}\Delta\mathbf{J} = \mathbf{E}\mathbf{E}^\top$
mit $(\Delta_{i,j}) = \delta_{i,j}^2$, $\mathbf{J} = \mathbf{I} - \frac{1}{n}\mathbf{1}\mathbf{1}^\top$, und $\mathbf{B}_\Delta = \mathbf{E}\mathbf{E}^\top$
(doppelte Zentrierung auf Zentroid der Punkte)
- diagonalisiere $\mathbf{B}_\Delta \rightarrow \mathbf{B}_\Delta = \mathbf{V}\Lambda\mathbf{V}^\top$
(\mathbf{B}_Δ ist orthogonal)
- Einbettung in k Dimensionen ist $\mathbf{E}_k = \mathbf{V}_k\Lambda_k^{\frac{1}{2}}$
(Verwendung der k dominanten Eigenpaare)

$\delta_{i,j}$	a	b	c	d	e
a	0	2	3	4	3
b	2	0	4	6	4
c	3	4	0	5	6
d	4	6	5	0	5
e	3	4	6	5	0

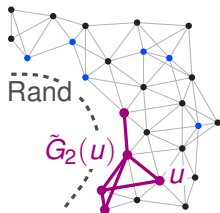


Randerkennung

Nachoptimierung

Ablauf

- Knoten u betrachtet 2-Hop Nachbarschaft
- existiert Pfad der Länge k über u
 - u bleibt Randknoten, sonst
 - klassifiziert sich u als innerer Knoten

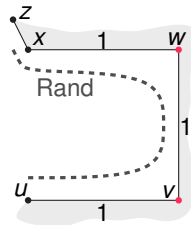
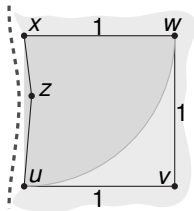
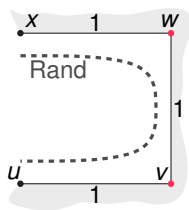
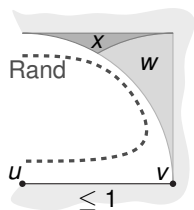


Aufwand

- \emptyset 10 – 25 Knoten in k -Hop Nachbarschaft
(UDG bzw. 0.05-QUDG)

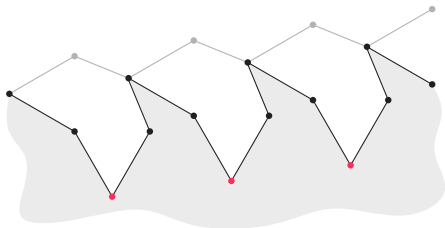
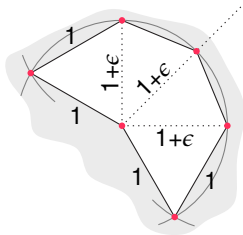
Randknoten

- MDS-BR1
 - maximal zwei aufeinanderfolgende Knoten falsch klassifiziert
- MDS-BR2
 - alle Knoten falsch klassifiziert
 - nicht in ausgedehnten Strukturen



Randknoten

- MDS-BR1
 - maximal zwei aufeinanderfolgende Knoten falsch klassifiziert
- MDS-BR2
 - alle Knoten falsch klassifiziert
 - nicht in ausgedehnten Strukturen



Innere Knoten

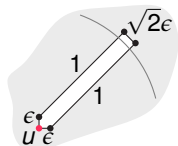
- am Rand von Mikrolöchern

- Untere Schranken

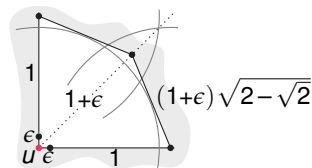
- $2 + \epsilon'$ (MDS-BR1)
- $2 + 2\sqrt{2 - \sqrt{2}} + \epsilon'$ (MDS-BR2)

- Obere Schranken

- nicht möglich
(gebaltete / aufgereichte Mikrolöcher)



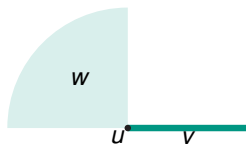
MDS-BR1



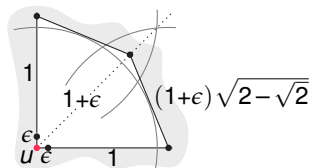
MDS-BR2

Innere Knoten

- am Rand von Mikrolöchern
- Untere Schranken
 - $2 + \epsilon'$ (MDS-BR1)
 - $2 + 2\sqrt{2 - \sqrt{2}} + \epsilon'$ (MDS-BR2)
- Obere Schranken
 - nicht möglich
(gebaltete / aufgereichte Mikrolöcher)



MDS-BR1



MDS-BR2

Innere Knoten

- am Rand von Mikrolöchern

- Untere Schranken

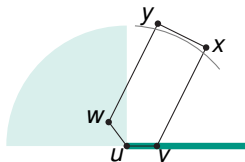
- $2 + \epsilon'$ (MDS-BR1)

- $2 + 2\sqrt{2 - \sqrt{2}} + \epsilon'$ (MDS-BR2)

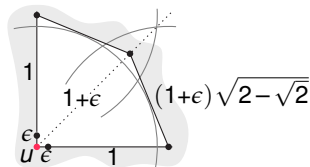
- Obere Schranken

- nicht möglich

(gebaltete / aufgereichte Mikrolöcher)



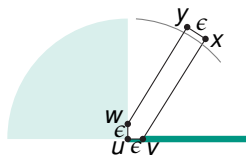
MDS-BR1



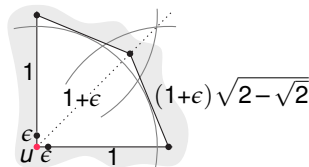
MDS-BR2

Innere Knoten

- am Rand von Mikrolöchern
- Untere Schranken
 - $2 + \epsilon'$ (MDS-BR1)
 - $2 + 2\sqrt{2 - \sqrt{2}} + \epsilon'$ (MDS-BR2)
- Obere Schranken
 - nicht möglich
(gebaltte / aufgereichte Mikrolöcher)



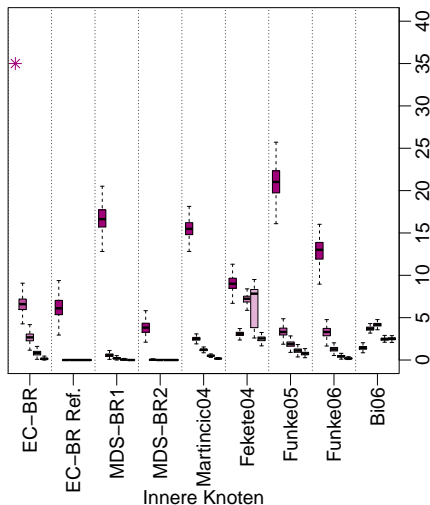
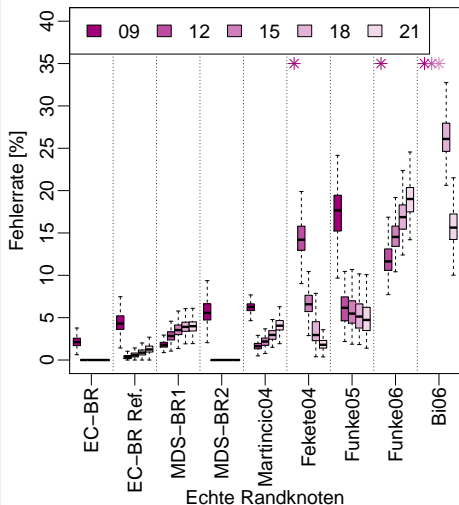
MDS-BR1



MDS-BR2

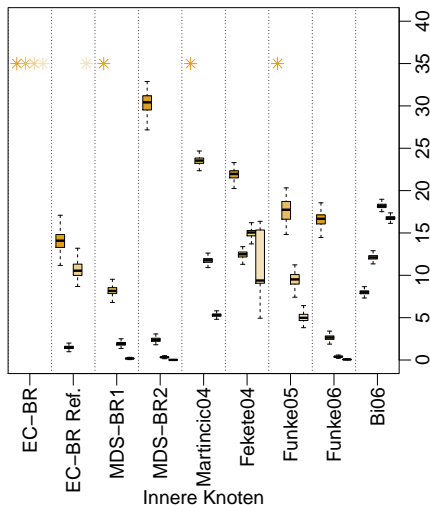
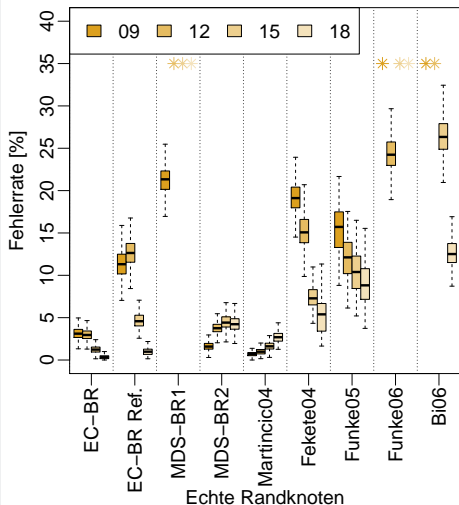
Randerkennung

Klassifikationen – UDG



Randerkennung

Klassifikationen – 0.25-QUDG



Ergebnisse

quantitative Auswertung – UDG

echter Rand



– | –

MDS-BR1



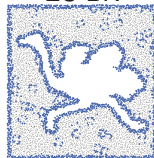
0.4 | 15.7

MDS-BR2



1.5 | 1.3

EC-BR



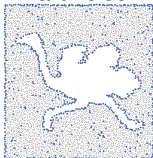
0.4 | 15.7

EC-BR Ref.



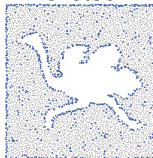
1.5 | 1.3

Martincic04



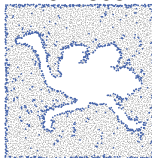
3.4 | 4.2

Fekete04



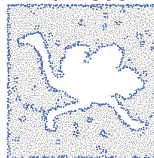
13.1 | 6.0

Funke05



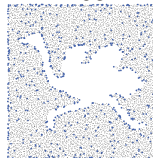
8.1 | 6.0

Funke06



20.8 | 3.7

Bi06

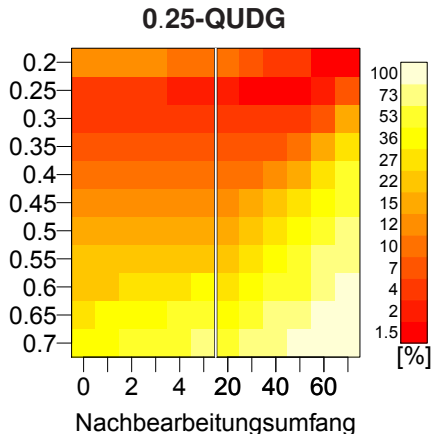
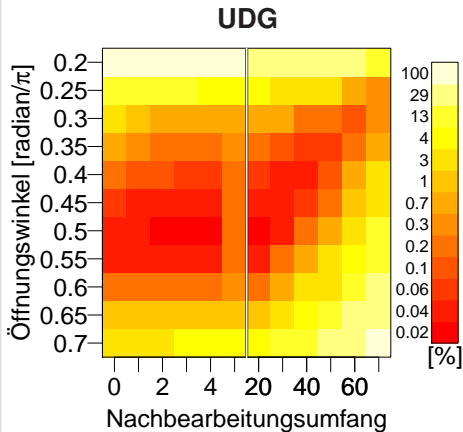


42.7 | 2.9

Fehlklassifikation von *Randknoten* und *inneren Knoten* [%]

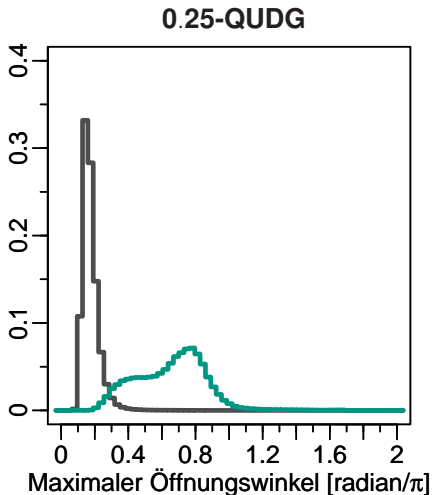
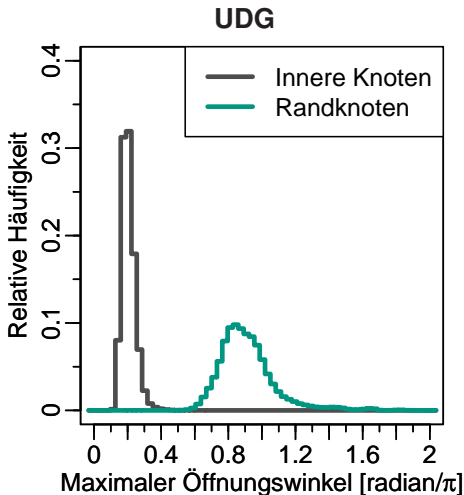
Randerkennung

Parameteranalyse – Heatmaps ($d_{avg} = 12$)



Randerkennung

Parameteranalyse – Winkelverteilungen ($d_{avg} = 12$)

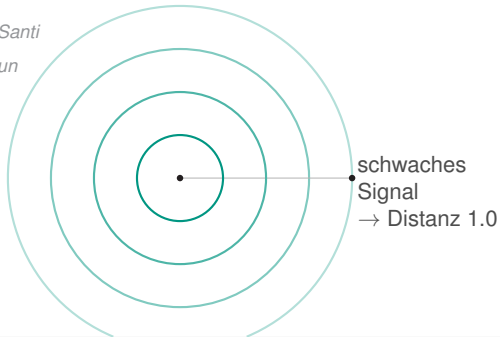
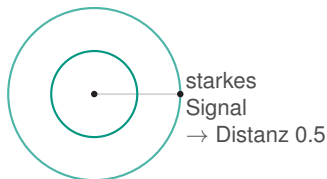


Randerkennung

Einbettungsvarianten

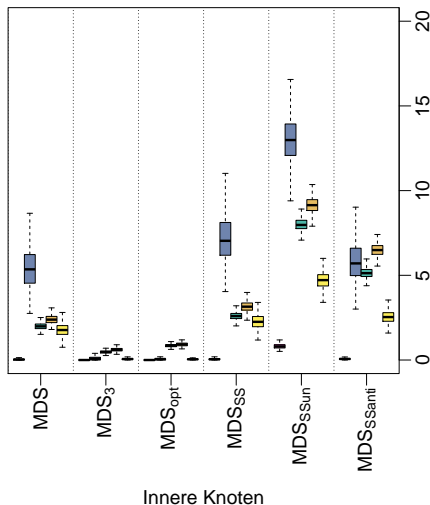
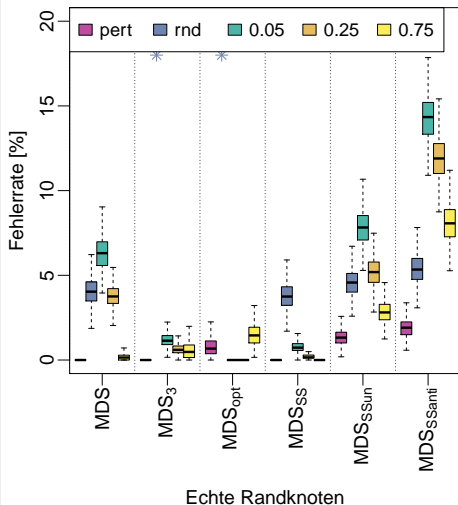
- MDS_3 Einbettung von 3-Hop Nachbarschaft
- MDS_{opt} echte Positionen
- MDS_{SS} Signalstärken

- Einteilung in **starke** und **schwache** Signale
- Annahme: Signalstärke **korreliert** mit Distanz
 - antikorreliert: MDS_{SSanti}
 - unkorreliert: MDS_{SSun}



Randerkennung

Einbettungsvarianten ($d_{avg} = 12$)

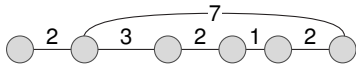


Contraction Hierarchies (CH)

zweistufiges Verfahren

Vorverarbeitung

- **ordne** Knoten nach “Wichtigkeit”
 - **kontrahiere** in dieser Reihenfolge
 - entferne Knoten (temporär)
 - erhalte kürzeste Wege mit **Shortcuts**
- **Suchgraph** = Netzwerk \cup **Shortcuts**



Routinganfrage

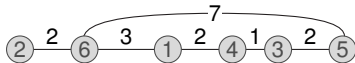
- bidirektionale Suche von **s** und **t**
- betrachte nur Kanten zu “**wichtigeren**” Knoten
(abgewandelter Algorithmus von Dijkstra)

Contraction Hierarchies (CH)

zweistufiges Verfahren

Vorverarbeitung

- **ordne** Knoten nach “Wichtigkeit”
 - **kontrahiere** in dieser Reihenfolge
 - entferne Knoten (temporär)
 - erhalte kürzeste Wege mit **Shortcuts**
- **Suchgraph** = Netzwerk \cup **Shortcuts**



Routinganfrage

- bidirektionale Suche von s und t
- betrachte nur Kanten zu “wichtigeren” Knoten
(abgewandelter Algorithmus von Dijkstra)

Contraction Hierarchies (CH)

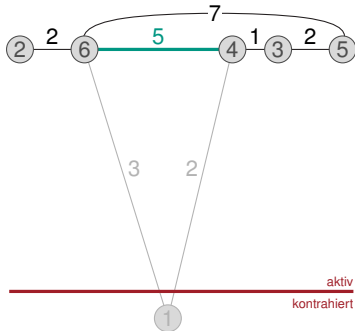
zweistufiges Verfahren

Vorverarbeitung

- **ordne** Knoten nach “Wichtigkeit”
 - **kontrahiere** in dieser Reihenfolge
 - entferne Knoten (temporär)
 - erhalte kürzeste Wege mit **Shortcuts**
- **Suchgraph** = Netzwerk \cup **Shortcuts**

Routinganfrage

- bidirektionale Suche von s und t
- betrachte nur Kanten zu “**wichtigeren**” Knoten
(abgewandelter Algorithmus von Dijkstra)



Contraction Hierarchies (CH)

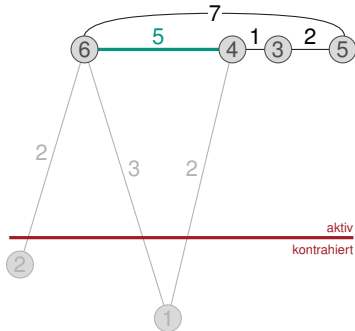
zweistufiges Verfahren

Vorverarbeitung

- **ordne** Knoten nach “Wichtigkeit”
 - **kontrahiere** in dieser Reihenfolge
 - entferne Knoten (temporär)
 - erhalte kürzeste Wege mit **Shortcuts**
- **Suchgraph** = Netzwerk \cup **Shortcuts**

Routinganfrage

- bidirektionale Suche von **s** und **t**
- betrachte nur Kanten zu “**wichtigeren**” Knoten
(abgewandelter Algorithmus von Dijkstra)



Contraction Hierarchies (CH)

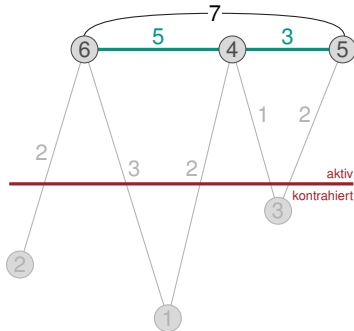
zweistufiges Verfahren

Vorverarbeitung

- **ordne** Knoten nach “Wichtigkeit”
 - **kontrahiere** in dieser Reihenfolge
 - entferne Knoten (temporär)
 - erhalte kürzeste Wege mit **Shortcuts**
- **Suchgraph** = Netzwerk \cup **Shortcuts**

Routinganfrage

- bidirektionale Suche von **s** und **t**
- betrachte nur Kanten zu “**wichtigeren**” Knoten
(abgewandelter Algorithmus von Dijkstra)



Contraction Hierarchies (CH)

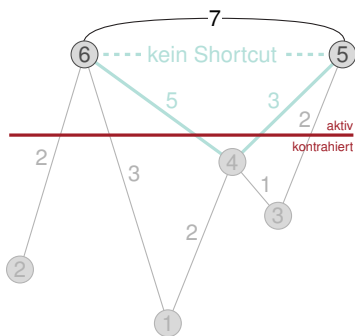
zweistufiges Verfahren

Vorverarbeitung

- **ordne** Knoten nach “Wichtigkeit”
 - **kontrahiere** in dieser Reihenfolge
 - entferne Knoten (temporär)
 - erhalte kürzeste Wege mit **Shortcuts**
- **Suchgraph** = Netzwerk \cup **Shortcuts**

Routinganfrage

- bidirektionale Suche von **s** und **t**
- betrachte nur Kanten zu “**wichtigeren**” Knoten
(abgewandelter Algorithmus von Dijkstra)



Contraction Hierarchies (CH)

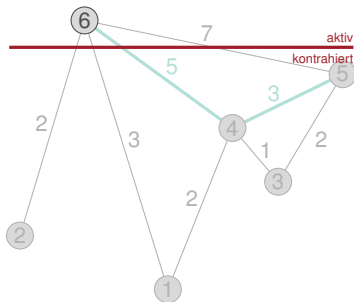
zweistufiges Verfahren

Vorverarbeitung

- **ordne** Knoten nach “Wichtigkeit”
 - **kontrahiere** in dieser Reihenfolge
 - entferne Knoten (temporär)
 - erhalte kürzeste Wege mit **Shortcuts**
- **Suchgraph** = Netzwerk \cup **Shortcuts**

Routinganfrage

- bidirektionale Suche von **s** und **t**
- betrachte nur Kanten zu “**wichtigeren**” Knoten
(abgewandelter Algorithmus von Dijkstra)



Contraction Hierarchies (CH)

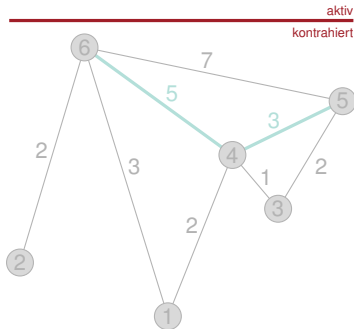
zweistufiges Verfahren

Vorverarbeitung

- **ordne** Knoten nach “Wichtigkeit”
 - **kontrahiere** in dieser Reihenfolge
 - entferne Knoten (temporär)
 - erhalte kürzeste Wege mit **Shortcuts**
- **Suchgraph** = Netzwerk \cup **Shortcuts**

Routinganfrage

- bidirektionale Suche von **s** und **t**
- betrachte nur Kanten zu “**wichtigeren**” Knoten
(abgewandelter Algorithmus von Dijkstra)



Contraction Hierarchies (CH)

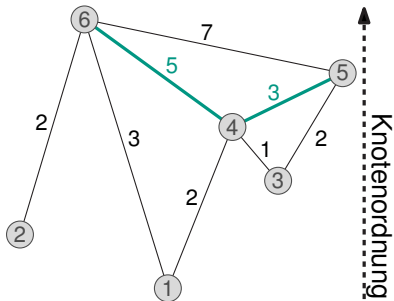
zweistufiges Verfahren

Vorverarbeitung

- **ordne** Knoten nach “Wichtigkeit”
 - **kontrahiere** in dieser Reihenfolge
 - entferne Knoten (temporär)
 - erhalte kürzeste Wege mit **Shortcuts**
- **Suchgraph** = Netzwerk \cup **Shortcuts**

Routinganfrage

- bidirektionale Suche von **s** und **t**
- betrachte nur Kanten zu “**wichtigeren**” Knoten
(abgewandelter Algorithmus von Dijkstra)



Contraction Hierarchies (CH)

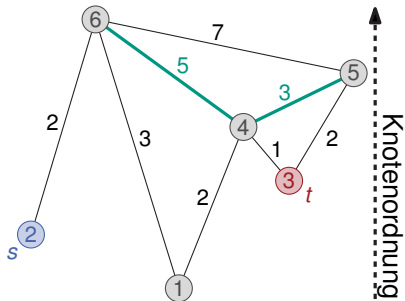
zweistufiges Verfahren

Vorverarbeitung

- **ordne** Knoten nach “Wichtigkeit”
 - **kontrahiere** in dieser Reihenfolge
 - entferne Knoten (temporär)
 - erhalte kürzeste Wege mit **Shortcuts**
- **Suchgraph** = Netzwerk \cup **Shortcuts**

Routinganfrage

- bidirektionale Suche von s und t
- betrachte nur Kanten zu “wichtigeren” Knoten
(abgewandelter Algorithmus von Dijkstra)



Contraction Hierarchies (CH)

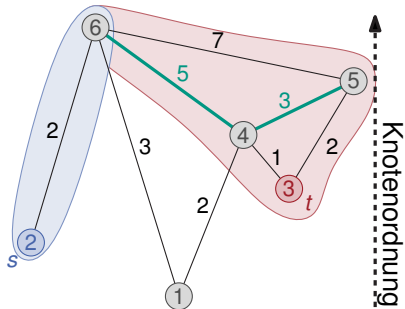
zweistufiges Verfahren

Vorverarbeitung

- **ordne** Knoten nach “Wichtigkeit”
 - **kontrahiere** in dieser Reihenfolge
 - entferne Knoten (temporär)
 - erhalte kürzeste Wege mit **Shortcuts**
- **Suchgraph** = Netzwerk \cup **Shortcuts**

Routinganfrage

- bidirektionale Suche von s und t
- betrachte nur Kanten zu “wichtigeren” Knoten
(abgewandelter Algorithmus von Dijkstra)



Contraction Hierarchies (CH)

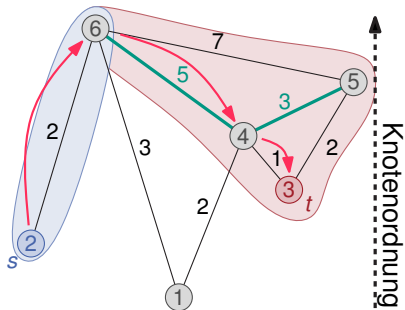
zweistufiges Verfahren

Vorverarbeitung

- **ordne** Knoten nach “Wichtigkeit”
 - **kontrahiere** in dieser Reihenfolge
 - entferne Knoten (temporär)
 - erhalte kürzeste Wege mit **Shortcuts**
- **Suchgraph** = Netzwerk \cup **Shortcuts**

Routinganfrage

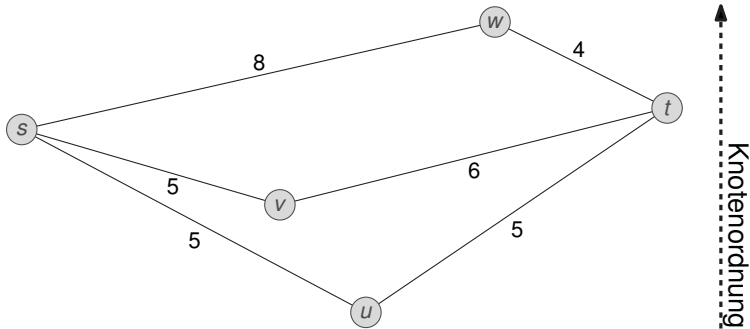
- bidirektionale Suche von s und t
- betrachte nur Kanten zu “**wichtigeren**” Knoten
(abgewandelter Algorithmus von Dijkstra)



Approximierte CH (apxCH)

grundlegende Idee...

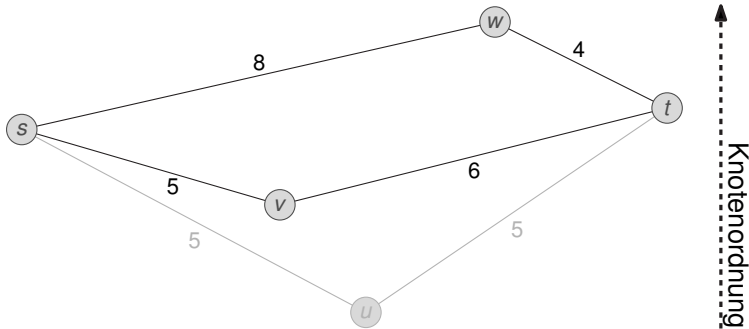
- kein Shortcut, wenn Pfad existiert mit Kosten kleiner gleich den Kosten des entfernten Pfades



Approximierte CH (apxCH)

grundlegende Idee...

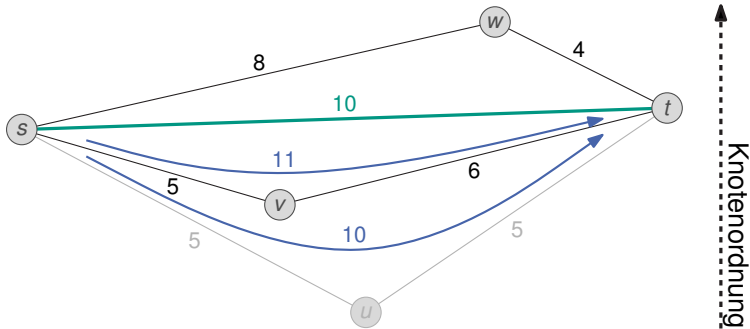
- kein Shortcut, wenn Pfad existiert mit Kosten kleiner gleich den Kosten des entfernten Pfades



Approximierte CH (apxCH)

grundlegende Idee...

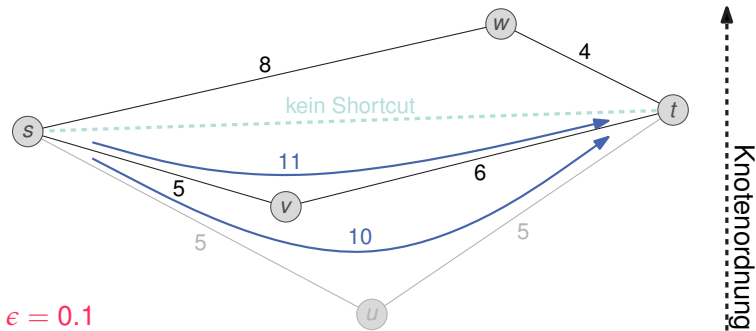
- kein Shortcut, wenn Pfad existiert mit Kosten kleiner gleich den Kosten des entfernten Pfades



Approximierte CH (apxCH)

grundlegende Idee...

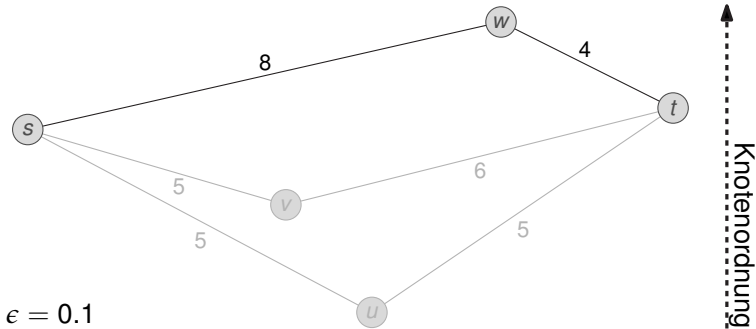
- kein Shortcut, wenn Pfad existiert mit Kosten kleiner gleich $(1 + \epsilon) \cdot$ den Kosten des entfernten Pfades



Approximierte CH (apxCH)

grundlegende Idee...

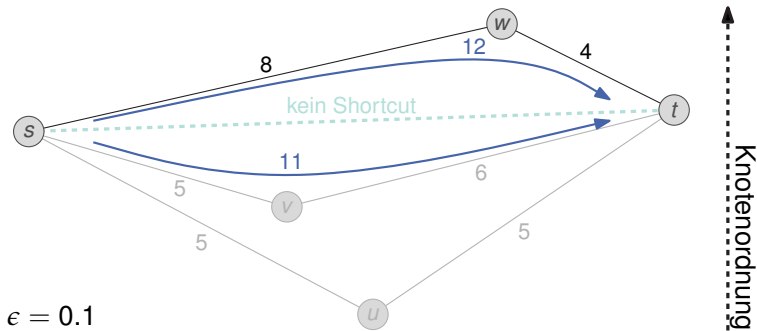
- kein Shortcut, wenn Pfad existiert mit Kosten kleiner gleich $(1 + \epsilon) \cdot$ den Kosten des entfernten Pfades



Approximierte CH (apxCH)

grundlegende Idee...

- kein Shortcut, wenn Pfad existiert mit Kosten kleiner gleich $(1 + \epsilon) \cdot$ den Kosten des entfernten Pfades

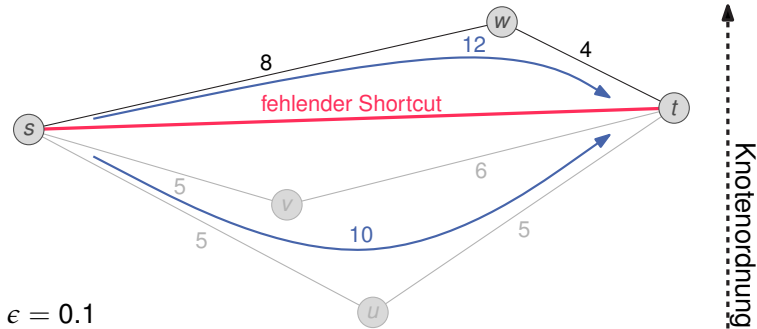


Approximierte CH (apxCH)

grundlegende Idee...

- kein Shortcut, wenn Pfad existiert mit Kosten kleiner gleich $(1 + \epsilon) \cdot$ den Kosten des entfernten Pfades

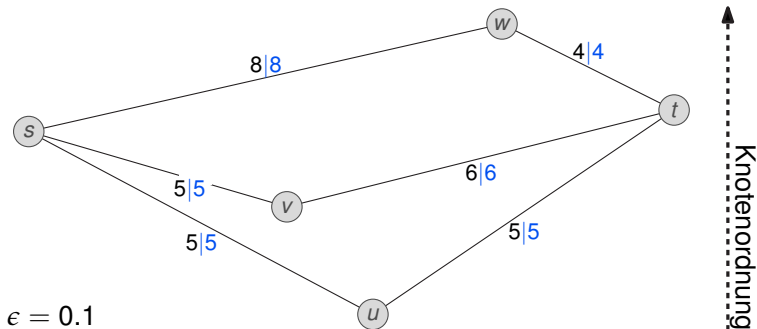
→ führt zu sich aufschaukelnden Fehlern!



Approximierte CH (apxCH)

...mit zusätzlichen Kosten

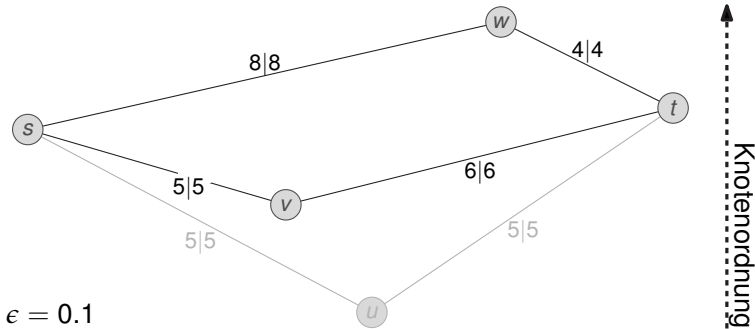
- kein Shortcut, wenn Pfad existiert mit Kosten kleiner gleich $(1 + \epsilon) \cdot$ den **bezeugten Kosten** des entfernten Pfades
- übernehme bezeugte Kosten des entfernten Pfades, falls geringer



Approximierte CH (apxCH)

...mit zusätzlichen Kosten

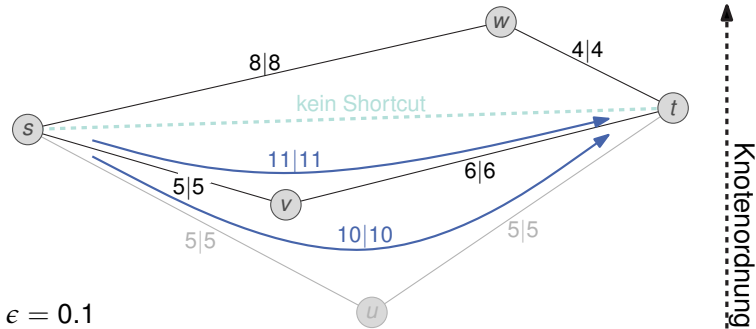
- kein Shortcut, wenn Pfad existiert mit Kosten kleiner gleich $(1 + \epsilon) \cdot$ den **bezeugten Kosten** des entfernten Pfades
- übernehme bezeugte Kosten des entfernten Pfades, falls geringer



Approximierte CH (apxCH)

...mit zusätzlichen Kosten

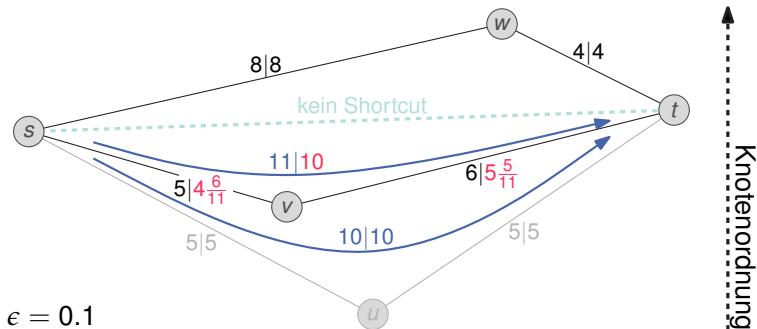
- kein Shortcut, wenn Pfad existiert mit Kosten kleiner gleich $(1 + \epsilon)$ · den **bezeugten Kosten** des entfernten Pfades
- übernehme bezeugte Kosten des entfernten Pfades, falls geringer



Approximierte CH (apxCH)

...mit zusätzlichen Kosten

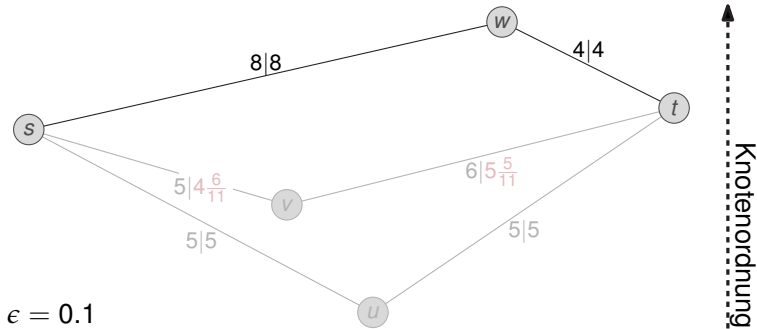
- kein Shortcut, wenn Pfad existiert mit Kosten kleiner gleich $(1 + \epsilon)$ · den **bezeugten Kosten** des entfernten Pfades
- übernehme bezeugte Kosten des entfernten Pfades, falls geringer



Approximierte CH (apxCH)

...mit zusätzlichen Kosten

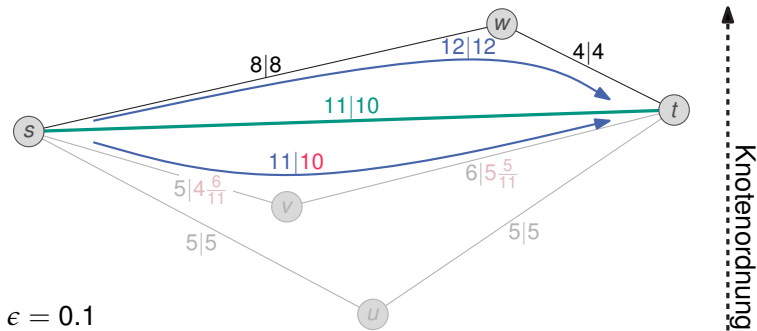
- kein Shortcut, wenn Pfad existiert mit Kosten kleiner gleich $(1 + \epsilon) \cdot$ den **bezeugten Kosten** des entfernten Pfades
- übernehme bezeugte Kosten des entfernten Pfades, falls geringer



Approximierte CH (apxCH)

...mit zusätzlichen Kosten

- kein Shortcut, wenn Pfad existiert mit Kosten kleiner gleich $(1 + \epsilon)$ · den **bezeugten Kosten** des entfernten Pfades
- übernehme bezeugte Kosten des entfernten Pfades, falls geringer



Approximierte CH (apxCH)

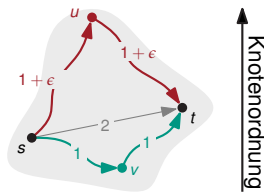
Kombinationen mit anderen Techniken

Vorgehen

- tausche Suchgraph von CH durch Suchgraph von apxCH
- keine weiteren Änderungen nötig

Bedingung

- es wird nur Information von “Hoch-Runter” Pfaden ausgenutzt
(sonst Inkonsistenzen möglich)

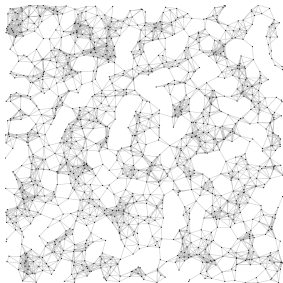


Ergebnisse

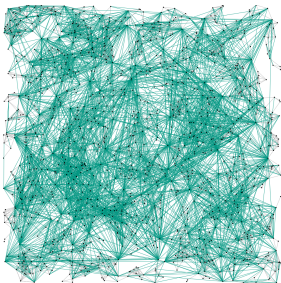
Visualisierung

■ apxCH benötigt weniger Shortcuts

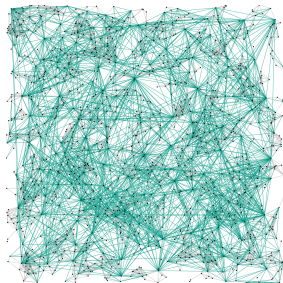
(→ Graph bleibt dünn, weniger Kanten zu speichern und zu scannen)



Netzwerk
1 000k Kanten



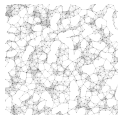
CH
500k Kanten
500k Shortcuts



apxCH-10%
500k Kanten
250k Shortcuts

Ergebnisse

Simulation – 1M Knoten, $d_{\text{avg}} = 10$, Latenzkosten

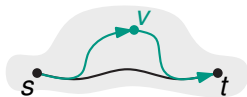


		Vorverarbeitung		Anfrage	
		Dauer [s]	Overhead [B/n]	Dauer [ms]	Fehler \emptyset [%]
CH	exact	5415	-2	2.33	-
	exact (lazy updates)	895	1	2.48	-
	apx ($\epsilon = 1\%$)	400	-5	2.24	0.2
	apx ($\epsilon = 10\%$)	177	-19	2.18	2.2
CHASE	exact (lazy updates)	6216	97	0.04	-
	apx ($\epsilon = 1\%$)	4878	86	0.04	0.2
	apx ($\epsilon = 10\%$)	3120	61	0.03	2.2
CHALT	exact (lazy updates)	927	26	0.42	-
	apx ($\epsilon = 1\%$)	427	20	0.35	0.2
	apx ($\epsilon = 10\%$)	198	7	0.29	2.2

Intel Core i7-920 @ 2.67 Ghz, 12 GB RAM

Modellierung

- Konkatination von 2 optimalen Routen
(über einen **Viapunkt v**)

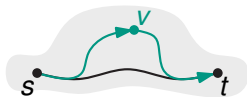


Kriterien für sinnvolle Alternativrouten

- nicht viel länger (stretch ϵ)
 - nicht zu ähnlich (overlap γ)
 - sinnvoll (α -locally optimality)
- quantitatives Qualitätsmaß für Alternativrouten $f(\alpha, \gamma, \epsilon)$
(Alternativen werden nur akzeptiert, wenn jedes Kriterium erfüllt ist)

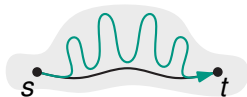
Modellierung

- Konkatination von 2 optimalen Routen
(über einen **Viapunkt v**)



Kriterien für sinnvolle Alternativrouten

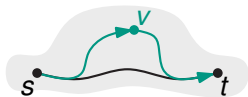
- nicht viel länger (stretch ϵ)
- nicht zu ähnlich (overlap γ)
- sinnvoll (α -locally optimality)



- quantitatives Qualitätsmaß für Alternativrouten $f(\alpha, \gamma, \epsilon)$
(Alternativen werden nur akzeptiert, wenn jedes Kriterium erfüllt ist)

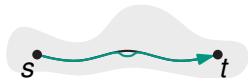
Modellierung

- Konkatination von 2 optimalen Routen
(über einen **Viapunkt v**)



Kriterien für sinnvolle Alternativrouten

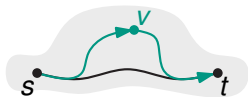
- nicht viel länger (stretch ϵ)
- nicht zu ähnlich (overlap γ)
- sinnvoll (α -locally optimality)



- quantitatives Qualitätsmaß für Alternativrouten $f(\alpha, \gamma, \epsilon)$
(Alternativen werden nur akzeptiert, wenn jedes Kriterium erfüllt ist)

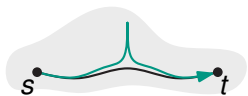
Modellierung

- Konkatination von 2 optimalen Routen
(über einen **Viapunkt v**)



Kriterien für sinnvolle Alternativrouten

- nicht viel länger (stretch ϵ)
- nicht zu ähnlich (overlap γ)
- sinnvoll (α -locally optimality)



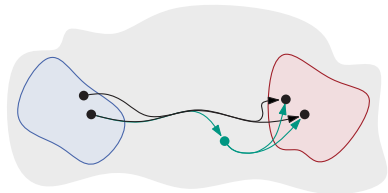
- quantitatives Qualitätsmaß für Alternativrouten $f(\alpha, \gamma, \epsilon)$
(Alternativen werden nur akzeptiert, wenn jedes Kriterium erfüllt ist)

Idee

Alternativrouten

Beobachtung

- Alternativrouten zwischen Gebieten haben viel gemeinsam
- bekannte Eigenschaft kürzester Wege
 - kürzeste Wege, die eine Region betreten/verlassen, tun dies über wenige Knoten [AFGW'10]



Annahme

Falls es wenige kürzeste Pfade zwischen zwei Regionen gibt, dann ist auch die Anzahl an guten Alternativrouten gering.

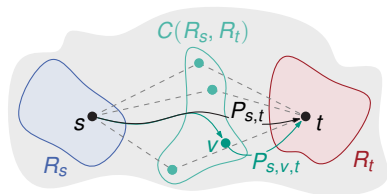
→ mit wenigen Knoten abdeckbar → **Viaknoten**

Ablauf

Alternativrouten

Vorverarbeitung

- partitioniere Graph
- berechne für jedes Paar an Regionen
Kandidaten für Viaknoten

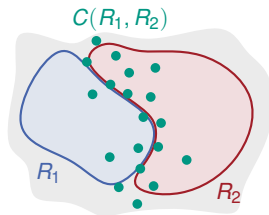


Anfrage

- teste Alternativroute über jeden Kandidaten
- verwende erste sinnvolle Alternativroute

Variante

- Multi-Level Partitionierung
(weniger Kandidaten für benachbarte Regionen)

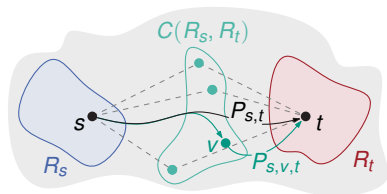


Ablauf

Alternativrouten

Vorverarbeitung

- partitioniere Graph
- berechne für jedes Paar an Regionen
Kandidaten für Viaknoten

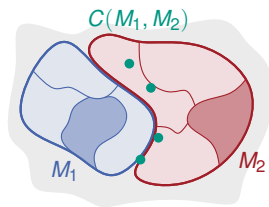


Anfrage

- teste Alternativroute über jeden Kandidaten
- verwende erste sinnvolle Alternativroute

Variante

- Multi-Level Partitionierung
(weniger Kandidaten für benachbarte Regionen)

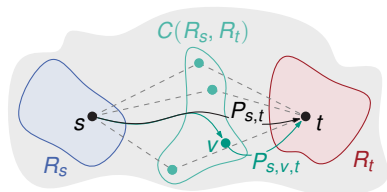


Ablauf

Alternativrouten

Vorverarbeitung

- partitioniere Graph
- berechne für jedes Paar an Regionen
Kandidaten für Viaknoten

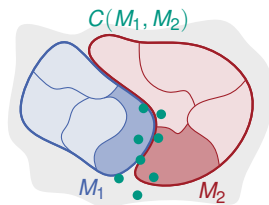


Anfrage

- teste Alternativroute über jeden Kandidaten
- verwende erste sinnvolle Alternativroute

Variante

- Multi-Level Partitionierung
(weniger Kandidaten für benachbarte Regionen)



- Suchraum aufbauen
- Knoten im Schnitt sind Kandidaten für Viaknoten

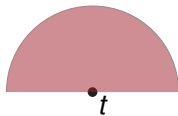
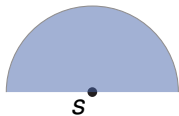
X-BDV

s

t

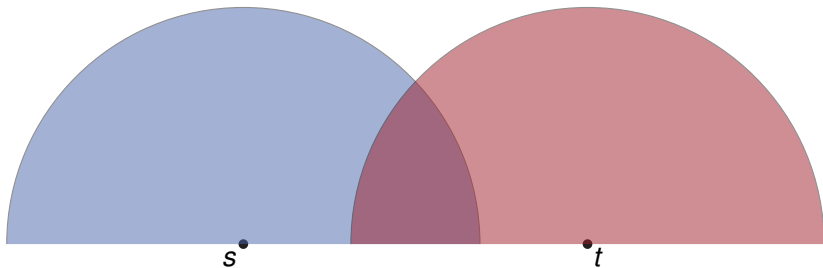
- Suchraum aufbauen
- Knoten im Schnitt sind Kandidaten für Viaknoten

X-BDV



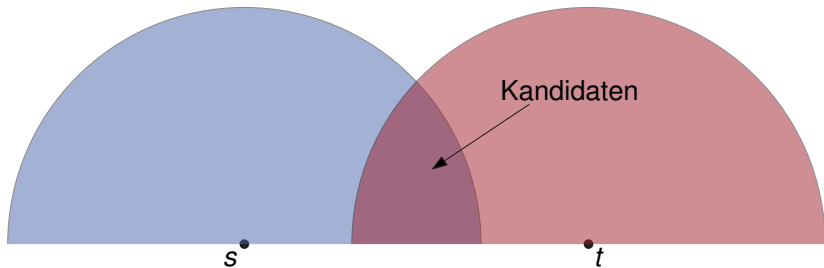
- Suchraum aufbauen
- Knoten im Schnitt sind Kandidaten für Viaknoten

X-BDV



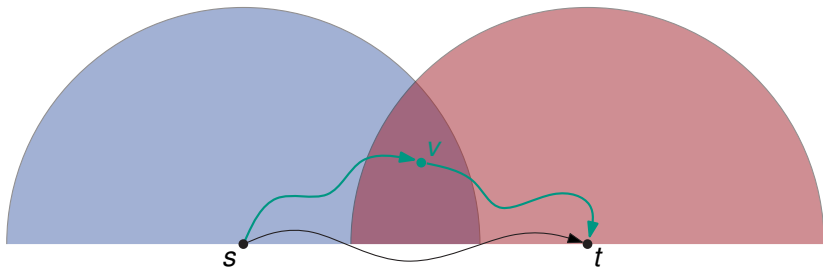
- Suchraum aufbauen
- Knoten im Schnitt sind Kandidaten für Viaknoten

X-BDV



- Suchraum aufbauen
- Knoten im Schnitt sind Kandidaten für Viaknoten

X-BDV



- Suchraum aufbauen
- Knoten im Schnitt sind Kandidaten für Viaknoten

X-CHV

s

t

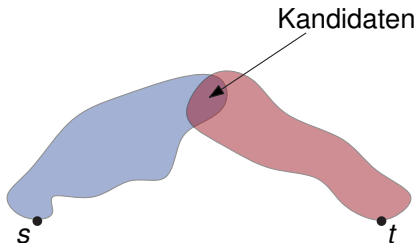
- Suchraum aufbauen
- Knoten im Schnitt sind Kandidaten für Viaknoten

X-CHV



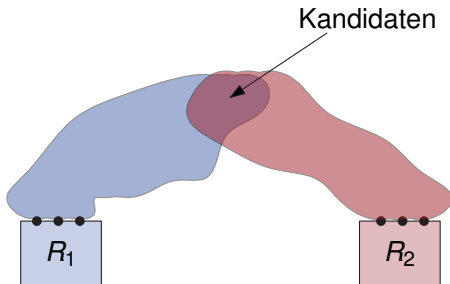
- Suchraum aufbauen
- Knoten im Schnitt sind Kandidaten für Viaknoten

X-CHV



- Suchraum aufbauen
- Knoten im Schnitt sind Kandidaten für Viaknoten

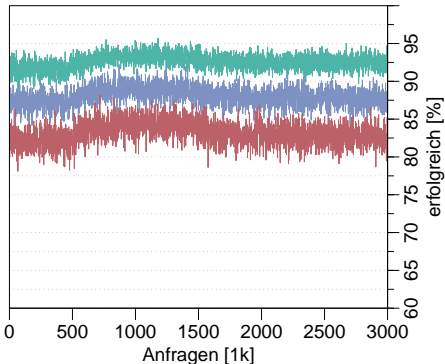
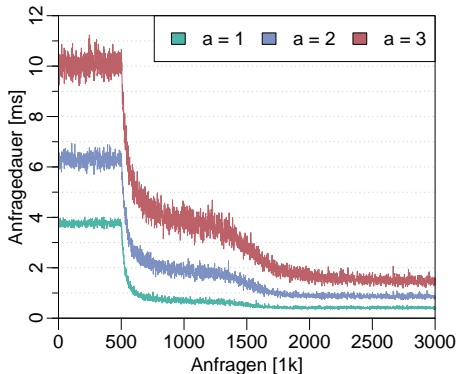
Vorbereitung der Kandidatenmengen



Onlineverfahren

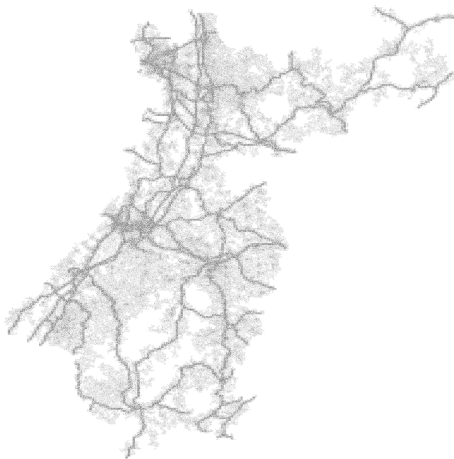
Alternativrouten

- lerne Viaknoten “on-the-fly”
- beende Lernen für Regionenpaar, wenn t -mal angefragt



Netzwerktyp “road”

850 000 Knoten, $d_{\text{avg}} = 10$



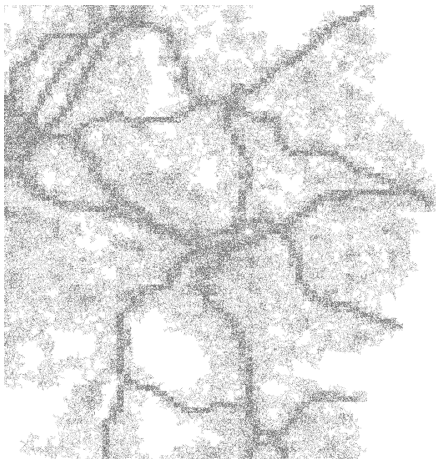
Netzwerktyp “road”

850 000 Knoten, $d_{\text{avg}} = 10$



Netzwerktyp “road”

850 000 Knoten, $d_{\text{avg}} = 10$



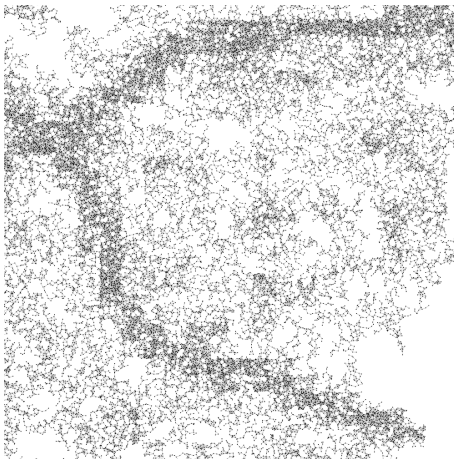
Netzwerktyp “road”

850 000 Knoten, $d_{\text{avg}} = 10$



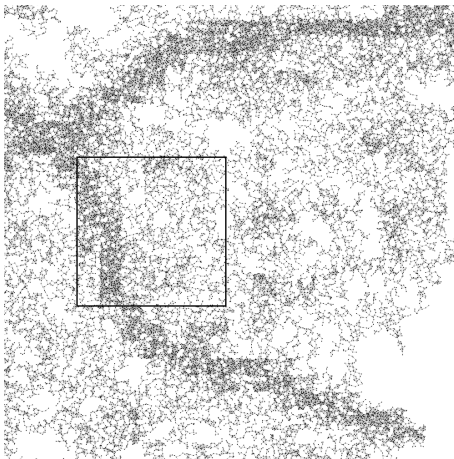
Netzwerktyp “road”

850 000 Knoten, $d_{\text{avg}} = 10$



Netzwerktyp “road”

850 000 Knoten, $d_{\text{avg}} = 10$



Netzwerktyp “road”

850 000 Knoten, $d_{\text{avg}} = 10$

